

Cap 9: Indução magnética

9.1 – Lei de Faraday da indução

9.2 – Lei de Lenz

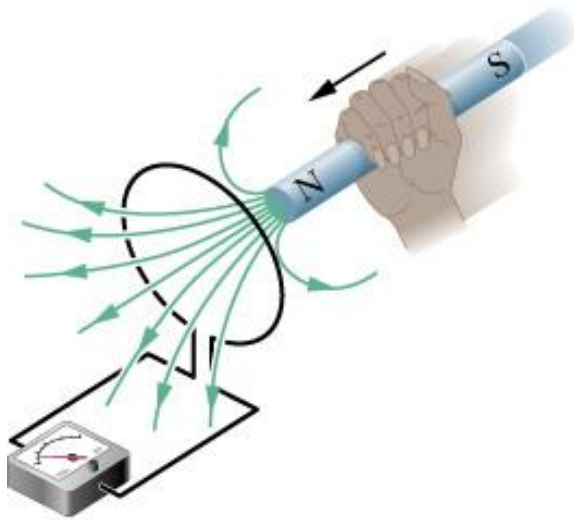
9.3 - A f.e.m de indução num conductor em movimento

9.4- Exemplos

9.1 – Lei de Faraday da indução

As experiências de Faraday

A- Michael Faraday (Inglaterra) e Joseph Henri (USA) conseguiram gerar correntes elétricas sem o uso de baterias.



Material:

Um ímã (**campo magnético**)

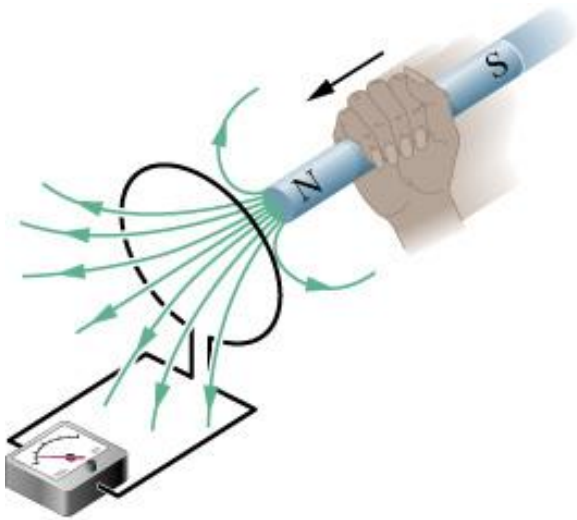
Uma espira ligada a um galvanômetro (lê correntes)

Experiência:

Movimento relativo entre o ímã e a espira

Experiência:

Movimento relativo entre o íman e a espira

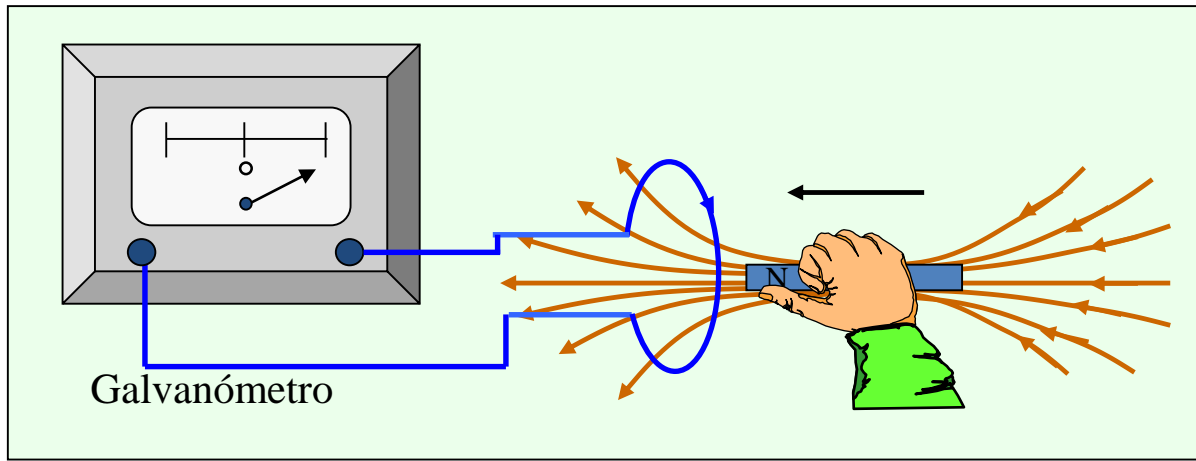


Observação:

- i) Aparecimento de uma corrente enquanto existe movimento relativo do ímã e espira.
- ii) Inversão no sentido do movimento inverte sentido da corrente
- iii) Movimentos mais rápidos originam maiores correntes

Esta corrente denomina-se **CORRENTE INDUZIDA** e a **força eletromotriz (f.e.m)** que aparece denomina-se **f.e.m INDUZIDA**.

Este efeito denomina-se INDUÇÃO



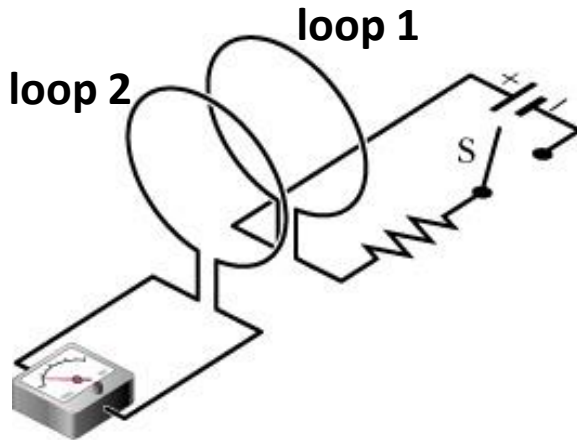
As observações desta experiência:

- Se o ímã for afastado (B diminui em intensidade) ou aproximado (B aumenta em intensidade) da espira, a agulha do galvanómetro desvia-se
- Se o ímã ficar estacionário em relação à espira, não há deflexão da agulha (ou seja não há corrente).

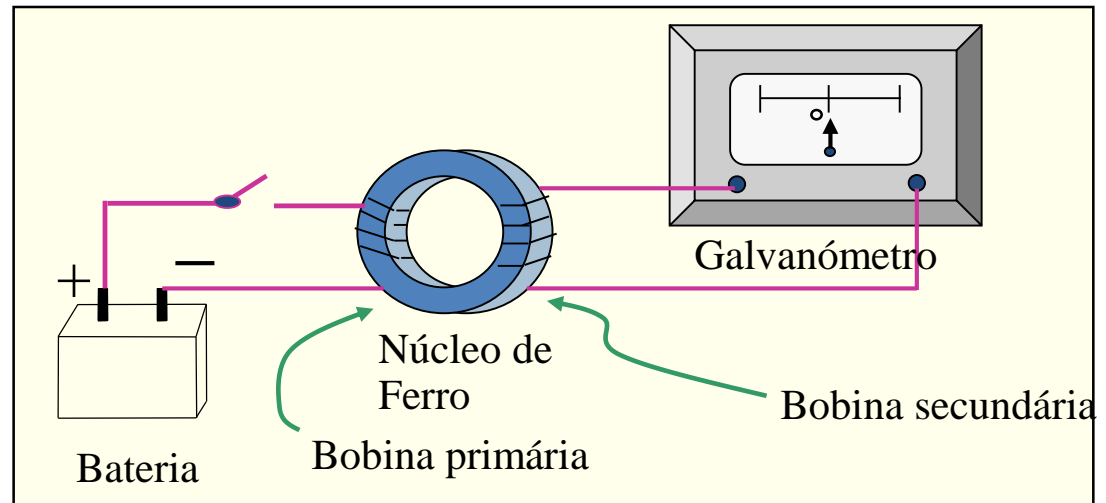
uma corrente pode ser gerada por um campo magnético variável.

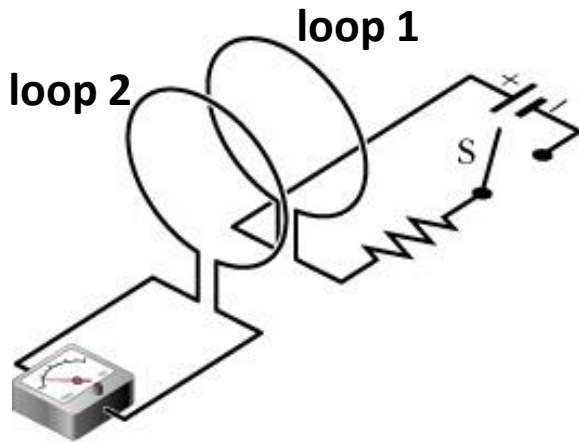
B- Dois circuitos, um na vizinhança do outro

Se a corrente na espira 1 for constante (S sempre fechado), não aparece corrente (induzida) na espira 2



Só existe corrente induzida na espira 2 **quando se liga ou desliga o interruptor** (quando S é aberto ou fechado).





**Com esta 2^{da} experiência conclui-se que
o campo magnético numa experiência de indução
pode ser gerado por**
- um íman (experiência A)
ou
- uma corrente (experiência B)

Experiência 1: uma corrente pode ser gerada por um campo magnético variável.

Lei de Faraday da indução

Uma **f.e.m** é **induzida** num circuito quando o **número de linhas de campo** magnético que passam nesse circuito varia (no tempo).



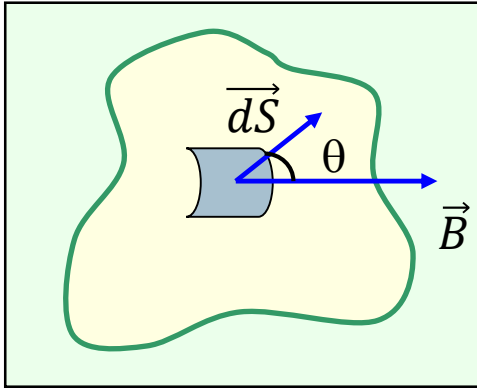
Há uma **f.e.m. induzida** num circuito quando o **fluxo magnético** (ϕ_m) através de um circuito variar no tempo.

A **f.e.m. induzida** num circuito é diretamente proporcional à taxa temporal de variação do **fluxo magnético** (ϕ_m) através do circuito.

$$|\varepsilon| = \frac{d\phi_m}{dt}$$

Lei de Faraday da indução

Fluxo Magnético



- Consideremos um elemento de área dS (ou dA) de uma superfície arbitrária
- Seja \vec{B} o vetor campo magnético nesse elemento de área.
- O fluxo é através desse elemento é: dado por $\vec{B} \cdot \vec{dS}$ onde \vec{dS} é $\hat{n} dS$

Assim, de forma equivalente ao fluxo do vetor campo elétrico, o fluxo magnético através de toda a superfície é dado por:

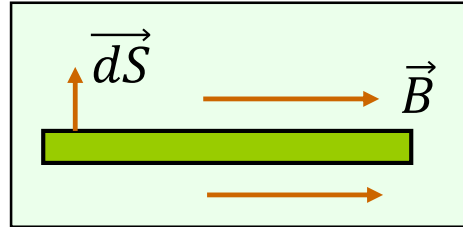
$$\phi_m = \int \vec{B} \cdot \vec{ds} = \int |\vec{B}| |\vec{ds}| \cos(\angle \vec{B}, \vec{ds})$$

onde o integral é sobre toda a área do circuito.

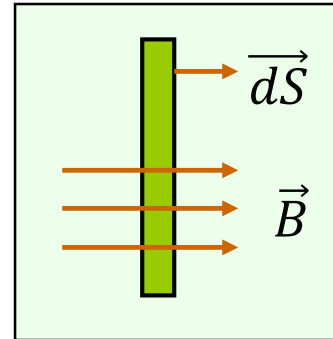
Ângulo que o vetor campo magnético faz com a normal à superfície

Ângulo que o vetor campo magnético faz com a normal à superfície: θ

- $\theta = 90^\circ$, $\phi_m = 0$



- $\theta = 0^\circ$, $\phi_m = BA$ (valor máximo)



SI \rightarrow [B] : Wb/m² ou T

\Rightarrow [ϕ]: weber (Wb)

$$1 \text{ Wb} = 1 \text{ T} \cdot \text{m}^2$$

Lei de Faraday da indução

A **f.e.m. induzida** (módulo) num circuito é:

$$|\varepsilon| = \frac{d\phi_m}{dt}$$

Se o circuito for uma bobina, constituída por N espiras com a mesma área, e se o fluxo atravessa igualmente todas as espiras:

$$|\varepsilon| = N \frac{d\phi_m}{dt}$$

Se circuito fechado então existirá uma **corrente induzida**
(Lei de Ohm):

$$I_{\text{induzida}} = \frac{|\varepsilon|}{R}$$

Quais as condições??? / Quando é que existe indução??????:

$$|\varepsilon| = \frac{d\phi_m}{dt}$$

$$|\varepsilon| \neq 0$$

sse

ϕ_m variar no tempo

$$\phi_m = \int \vec{B} \cdot \vec{ds} = \int |\vec{B}| |\vec{ds}| \cos(\vec{B}, \vec{ds})$$

- $|\vec{B}|$ variar no tempo
- $|\vec{ds}|$ variar no tempo
- $\cos(\vec{B}, \vec{ds})$ variar no tempo
- qualquer combinação destas situações

Lei de Faraday da indução

Se $\phi_m(t)$ {

- $|\vec{B}|$ variar no tempo
- $|\vec{ds}|$ variar no tempo
- $\cos(\vec{B}, \vec{ds})$ variar no tempo
- qualquer combinação destas situações

Existe **f.e.m. induzida**

$$|\varepsilon| = \frac{d\phi_m}{dt} \neq 0$$

Se o circuito for fechado existirá uma **corrente induzida** $I_{\text{induzida}} = \frac{|\varepsilon|}{R}$

QUALQUER CORRENTE CRIA NA SUA VIZINHANÇA UM CAMPO MAGNÉTICO, logo

existirá um $\vec{B}_{\text{indz.}}$

Lei de Faraday da indução

Se $|\vec{B}|$, área, ou ... variar no tempo

ou seja, se o número líquido de linhas de campo magnético que passam uma determinada superfície variar no tempo,

ou seja se $\phi_m(t)$

$$|\varepsilon| = \frac{d\phi_m}{dt} \neq 0$$

$$I_{\text{induzida}} = \frac{|\varepsilon|}{R}$$

$\overrightarrow{B_{\text{indz.}}}$

9.2 Lei de Lenz

$$|\varepsilon| = \frac{d\phi_m}{dt}$$

Lei de Lenz



$$\varepsilon = - \frac{d\phi_m}{dt}$$

A Lei de Lenz traduz-se no sinal “-” na equação da f.e.m induzida, ou seja, na Lei de Faraday



Significa que a corrente (f.e.m., campo) induzida deve ter um **sentido** tal que o fluxo que ela gera se oponha ao que lhe deu origem (ou seja se oponha à variação do fluxo externo)

A I induzida tende a manter o fluxo original através do circuito.



$$\varepsilon = - \frac{d\Phi_m}{dt}$$

A direção tanto da **fem induzida** como da **corrente induzida**, podem ser determinadas pela Lei de Lenz: **a polaridade da fem induzida é tal que ela tende a provocar uma corrente que irá gerar um fluxo magnético que se opõe à variação do fluxo magnético através do circuito fechado** → é uma consequência da Lei de conservação da energia.

$I_{\text{induzida}} \neq 0$ sse $|\varepsilon| \neq 0$

$|\varepsilon| \neq 0$ sse $\phi_m(t)$

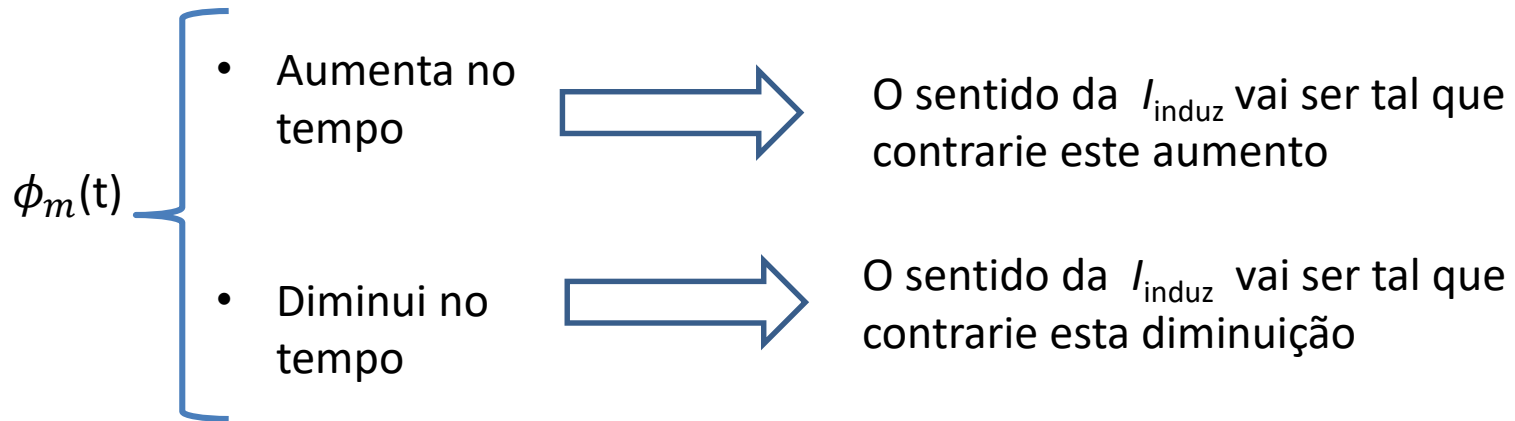
$\phi_m(t)$ {

- $|\vec{B}|$ variar no tempo
- $|\vec{ds}|$ variar no tempo
- $\cos(\vec{B}, \vec{ds})$ variar no tempo
- qualquer combinação destas situações

$\phi_m(t)$ {

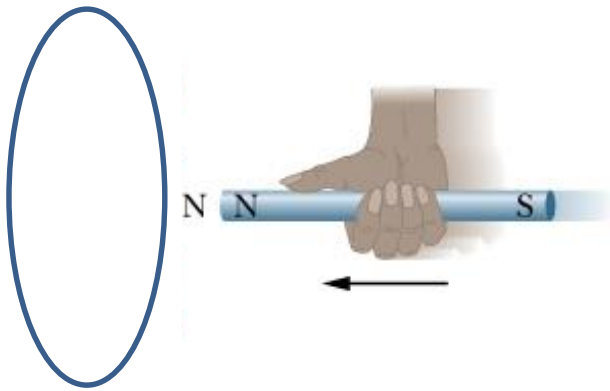
- **Aumenta** no tempo
- **Diminui** no tempo

Lei de Lenz



Exemplos

Exemplo 1

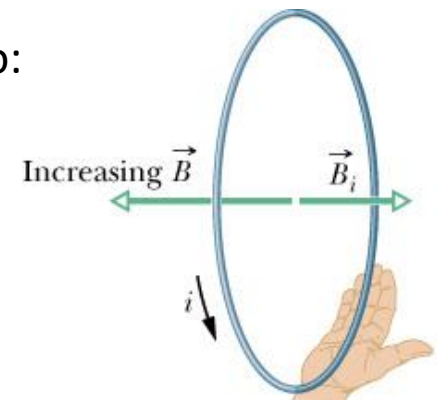


Neste exemplo, o íman aproxima-se da espira, ou seja: o fluxo aumenta com o tempo; ou seja, o número de linhas de B que atravessa a espira (da direita para a esquerda) aumenta.

Logo, de acordo com a **lei de Lenz** o sentido de I_{induz} (*f.e.m.*) é tal que contrarie este aumento.

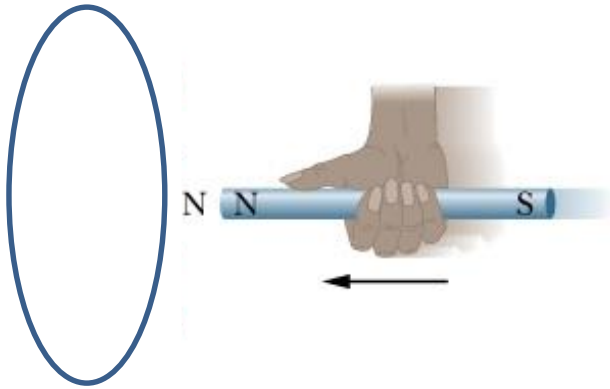
OU seja, I_{induz} tem que originar um campo B_{induzido} com sentido da esquerda para a direita.

O sentido da corrente é então:



Lei de Biot-Savart(RMD)

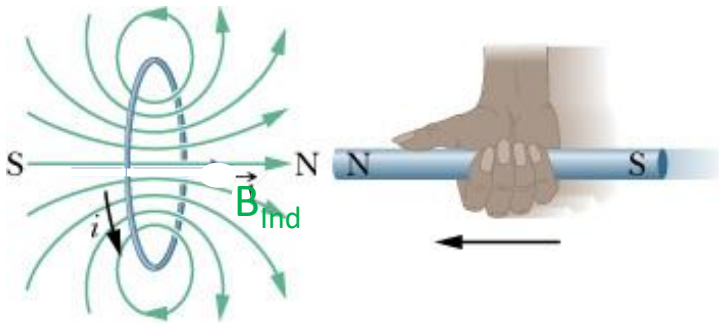
Exemplo 1 (campo B a variar no tempo)



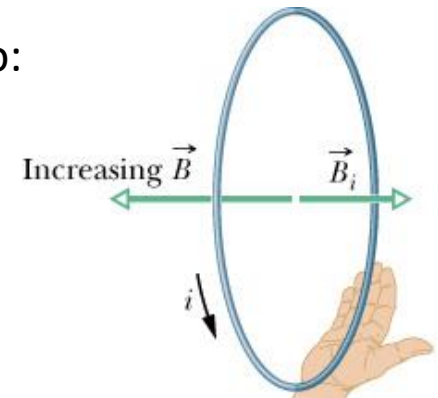
Neste exemplo, o íman aproxima-se da espira, ou seja: o fluxo aumenta com o tempo; ou seja, o número de linhas de B que atravessa a espira (da direita para a esquerda aumenta).

Logo, de acordo com a lei de Lenz o sentido de I_{induz} (f.e.m.) é tal que contrarie este aumento.

OU seja, I_{induz} tem que originar um campo B_{induzido} com sentido da esquerda para a direita.



O sentido da corrente é então:



Lei de Biot-Savart(RMD)

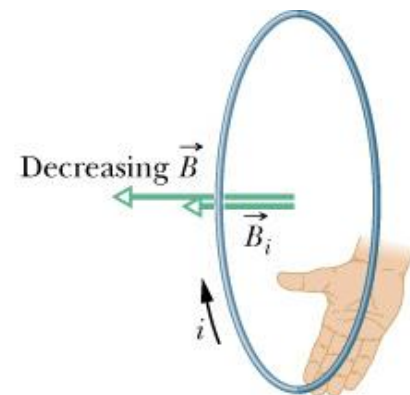
Exemplo 2 (campo B a variar no tempo)

Neste exemplo, o íman afasta-se da espira, ou seja: o fluxo diminui com o tempo; ou seja, o número de linhas de B que atravessa a espira (da direita para a esquerda) diminui.

Logo, de acordo com a lei de Lenz o sentido de I_{induz} (f.e.m.) é tal que contrarie esta diminuição.

OU seja, I_{induz} tem que originar um campo B_{induzido} com sentido da direita para a esquerda.

O sentido da corrente é então:



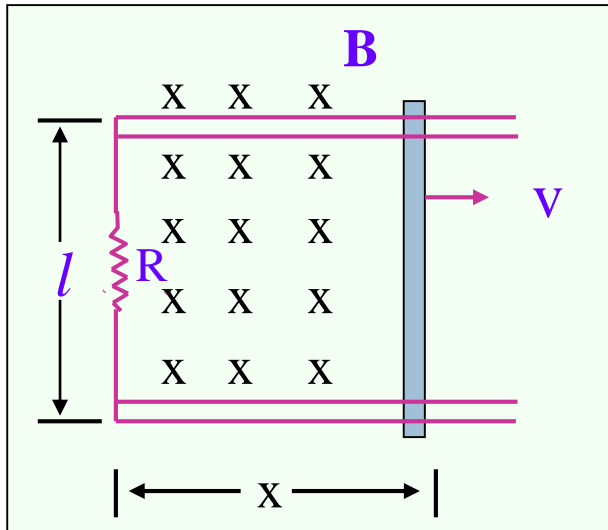
Lei de Biot-Savart (RMD)

(b)

9.3 A f.e.m. de indução num condutor em movimento

Consideremos o circuito: trilhos condutores paralelos fixos, a resistência R e a barra móvel de comprimento l ;

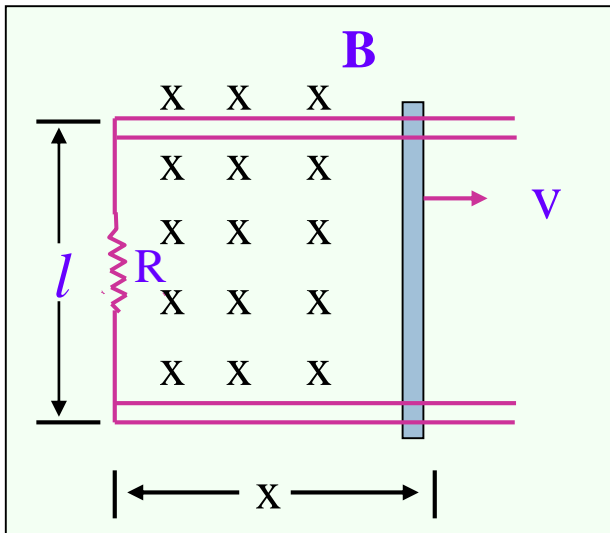
Consideremos que a barra móvel escorrega sobre os dois trilhos numa região de campo uniforme, \vec{B} , com velocidade constante, \vec{v} .



$$\mathcal{E} = - \frac{d\phi_m}{dt} \neq 0 \text{ sse } \left\{ \begin{array}{l} B(t) \\ A(t) \\ \text{ângulo}(\vec{B}, \vec{ds}) (t) \\ \text{qq combinação} \end{array} \right.$$

Quando a barra se desloca para a direita...

A área do circuito aumenta, logo $\phi_m(t)$



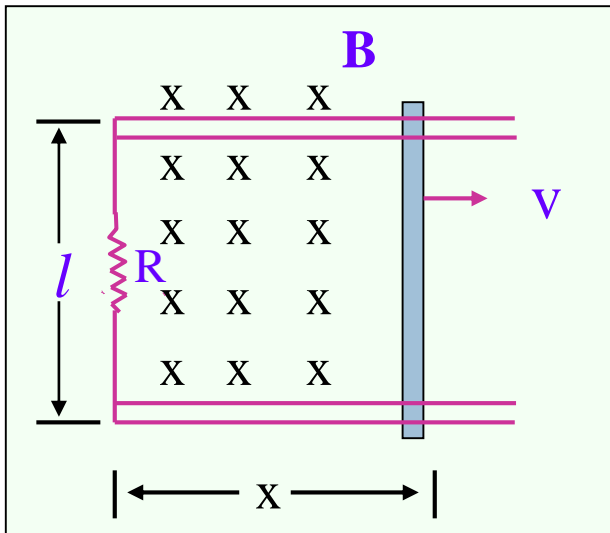
$$\mathcal{E} = - \frac{d\phi_m}{dt}$$

$$\phi_m = \int \vec{B} \cdot \vec{ds} = \int |\vec{B}| |\vec{ds}| \cos(\widehat{\vec{B}, \vec{ds}}) = \int |\vec{B}| |\vec{ds}| \cos(0^\circ) = \int |\vec{B}| |\vec{ds}| = B A$$

(180°)

$$|\mathcal{E}| = \frac{d\phi_m}{dt} = \frac{d(BA)}{dt} = B \frac{d(A)}{dt} = B \frac{d(lx)}{dt}$$

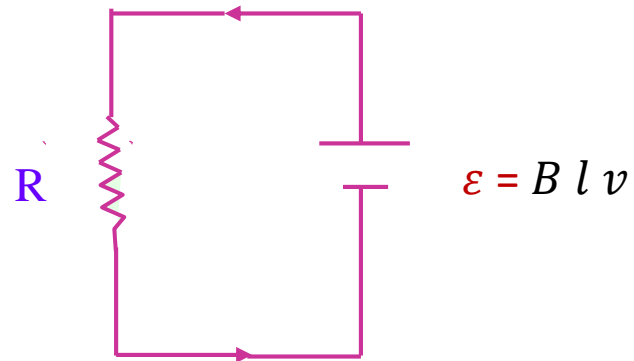
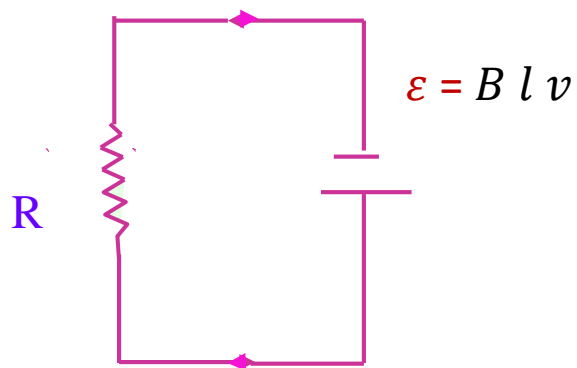
$$= Bl \frac{dx}{dt} = B l v$$

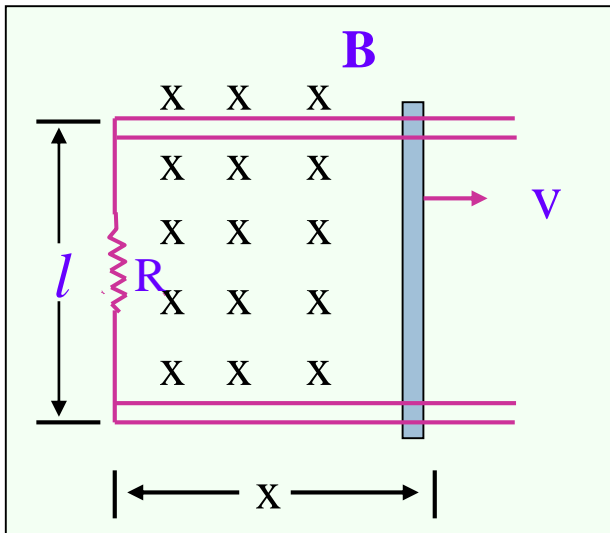


$$|\varepsilon| = \frac{d\phi_m}{dt} = B \underbrace{l v}$$

Módulo de B e da velocidade da barra

Circuito equivalente



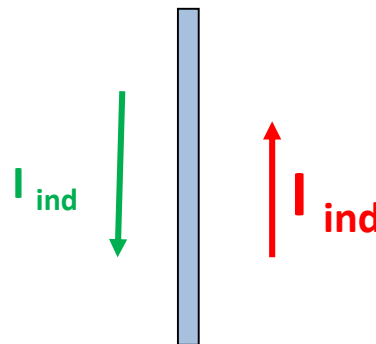


$$|\varepsilon| = \frac{d\phi_m}{dt} = B l v$$



$$I_{\text{induzida}} = \frac{|\varepsilon|}{R} = \frac{B l v}{R}$$

???? Qual o sentido de I_{induzida} ????



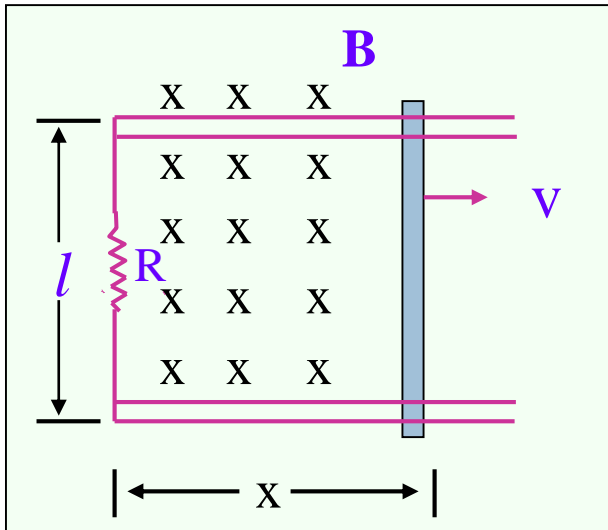
Lei de Lenz

I induzida



$\vec{B}_{indz.}$

O sentido de B_{ind} tem que contrariar o que lhe deu origem



Quando a barra se desloca para a direita...

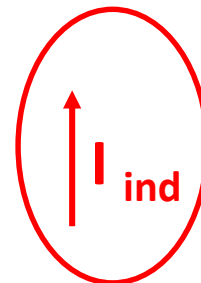
A área do circuito aumenta, logo o Φ_m **aumenta**



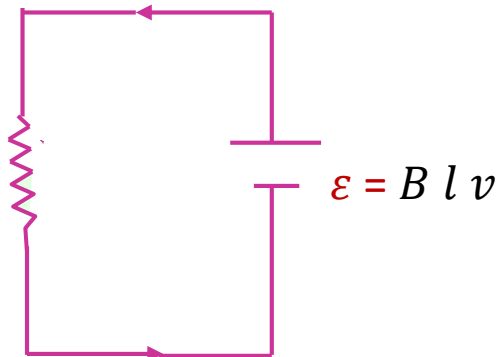
$\vec{B}_{indz.}$

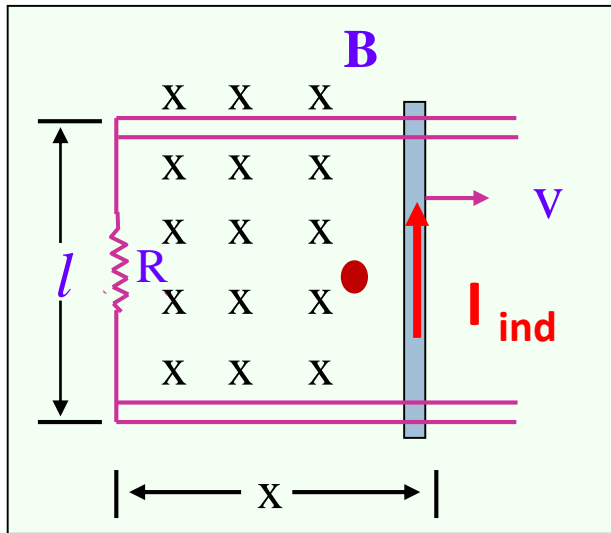


dentro do circuito



I_{ind}



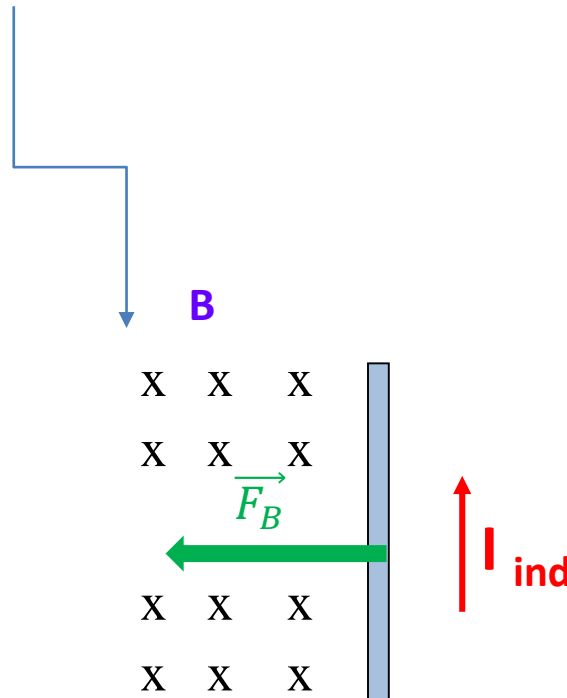


Existe então uma corrente I_{ind} no circuito. O circuito está numa região onde existe um campo magnético B (que originou esta I_{ind}).....



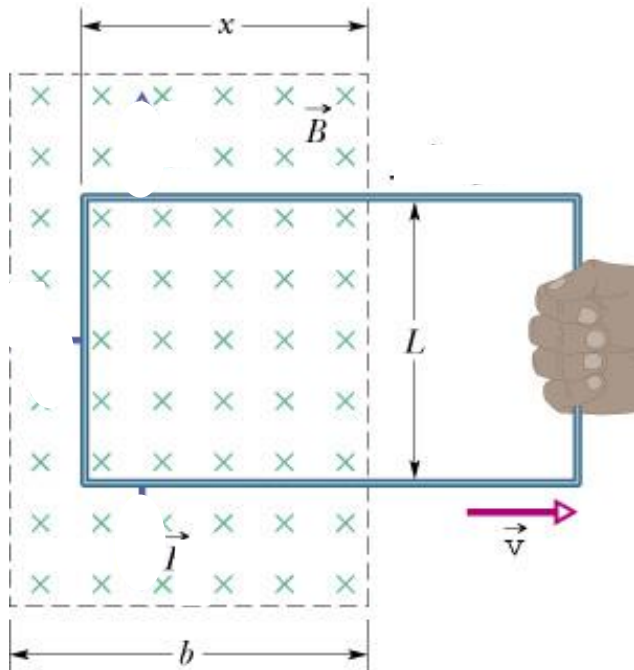
$$\vec{F}_B = I_{ind} \vec{l} \times \vec{B}$$

$\vec{B}_{indz.}$



....exemplo de Indução por variar a área

O que acontecerá na situação da figura??????



Circuito está fechado, logo haverá I_{induzida}



$$I_{\text{induzida}} = \frac{|\mathcal{E}|}{R}$$

sse $|\mathcal{E}| \neq 0$



$$|\mathcal{E}| = \frac{d\phi_m}{dt}$$

sse $\phi_m(t)$

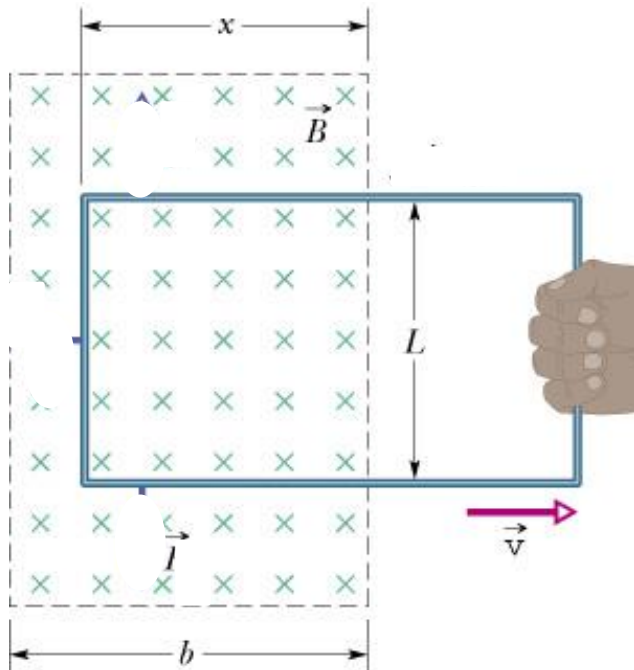


$$\phi_m = \int \vec{B} \cdot d\vec{s} = \int |\vec{B}| |d\vec{s}| \cos(\vec{B}, d\vec{s})$$

$\phi_m(t)$

- $|\vec{B}|$ variar no tempo
- $|d\vec{s}|$ variar no tempo
- $\cos(\vec{B}, d\vec{s})$ variar no tempo
- qualquer combinação destas situações

O que acontecerá na situação da figura??????



Circuito está fechado, logo haverá I_{induzida}



$$I_{\text{induzida}} = \frac{|\mathcal{E}|}{R}$$

sse $|\mathcal{E}| \neq 0$



$$|\mathcal{E}| = \frac{d\phi_m}{dt}$$

sse $\phi_m(t)$



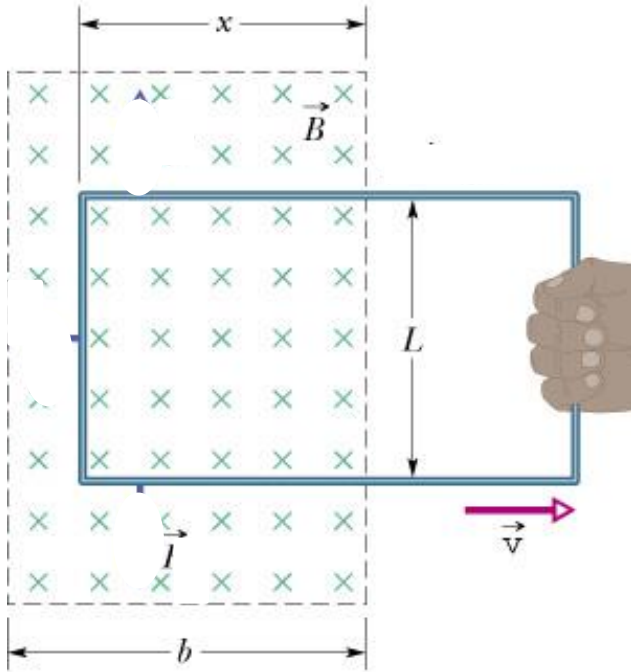
$$\phi_m = \int \vec{B} \cdot d\vec{s} = \int |\vec{B}| |d\vec{s}| \cos(\vec{B}, d\vec{s})$$

$\phi_m(t)$

- $|\vec{B}|$ variar no tempo
- $|d\vec{s}|$ variar no tempo
- $\cos(\vec{B}, d\vec{s})$ variar no tempo
- qualquer combinação destas situações



O que acontecerá na situação da figura??????



Circuito está fechado, logo haverá I_{induzida}

$$I_{\text{induzida}} = \frac{|\mathcal{E}|}{R}$$

sse $|\mathcal{E}| \neq 0$

$$|\mathcal{E}| = \frac{d\phi_m}{dt}$$

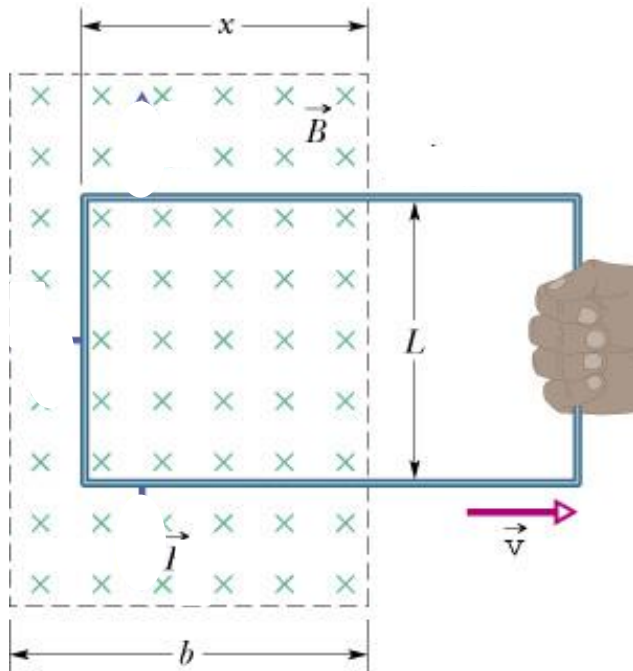
sse $\phi_m(t)$

$$\phi_m = \int \vec{B} \cdot d\vec{s} = \int |\vec{B}| |d\vec{s}| \cos(\vec{B}, d\vec{s})$$

$\phi_m(t)$

- $|\vec{B}|$ ~~variar no tempo~~
- $|d\vec{s}|$ (área) ~~variar no tempo~~
- $\cos(\vec{B}, d\vec{s})$ ~~variar no tempo~~
- qualquer combinação destas situações

Área varia no tempo



$$\phi_m = \int \vec{B} \cdot d\vec{s} = \int |\vec{B}| |d\vec{s}| \cos(\vec{B}, d\vec{s}) =$$

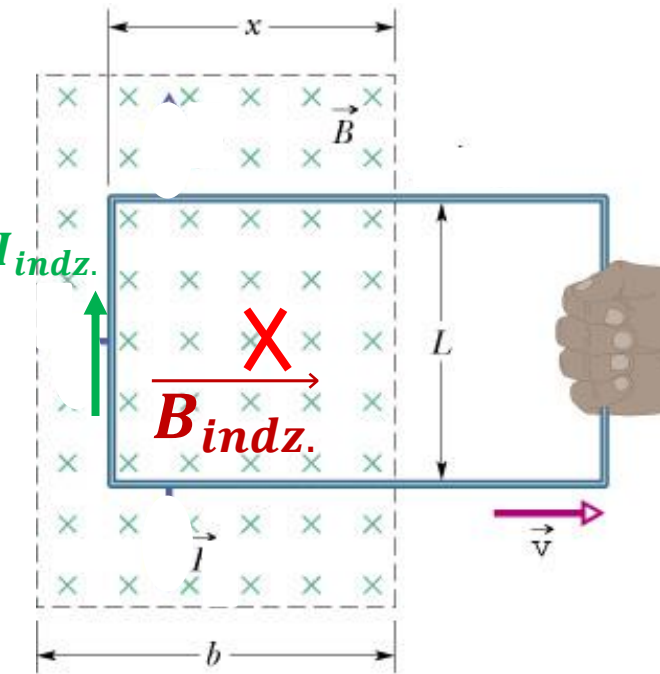
$$\phi_m = \int |\vec{B}| |d\vec{s}| \cos(0 \text{ ou } 180)$$

$$\phi_m = B \int |d\vec{s}| = BA$$

Lei de Lenz

Área varia no tempo

Área varia no tempo



$$\phi_m = \int \vec{B} \cdot d\vec{s} = \int |\vec{B}| |d\vec{s}| \cos(\vec{B}, d\vec{s}) =$$

$$\phi_m = \int |\vec{B}| |d\vec{s}| \cos(0 \text{ ou } 180)$$

$$\phi_m = B \int |d\vec{s}| = BA$$

$\phi_m(t)$

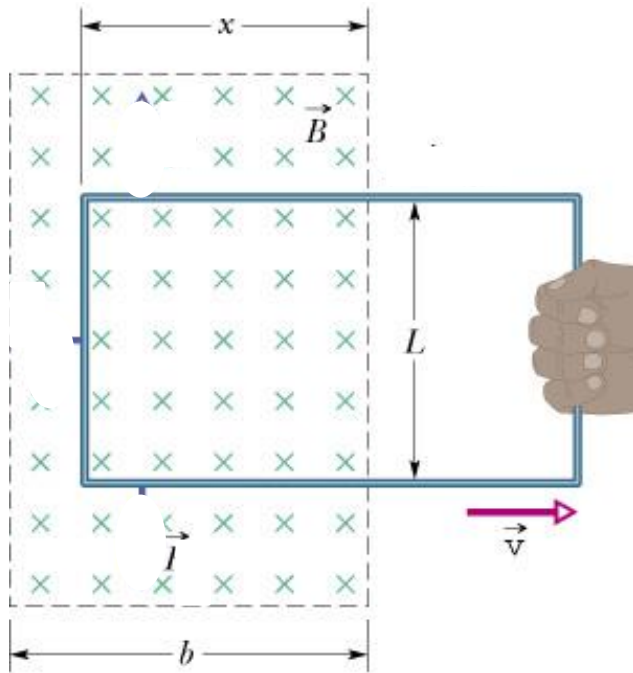
- **Aumenta** no tempo
- **Diminui** no tempo

Sentido de

$\vec{B}_{indz.}$

reforça o B

sentido de $I_{indz.}$



$$\phi_m = \int \vec{B} \cdot d\vec{s} = \int |\vec{B}| |d\vec{s}| \cos(\vec{B}, d\vec{s}) =$$

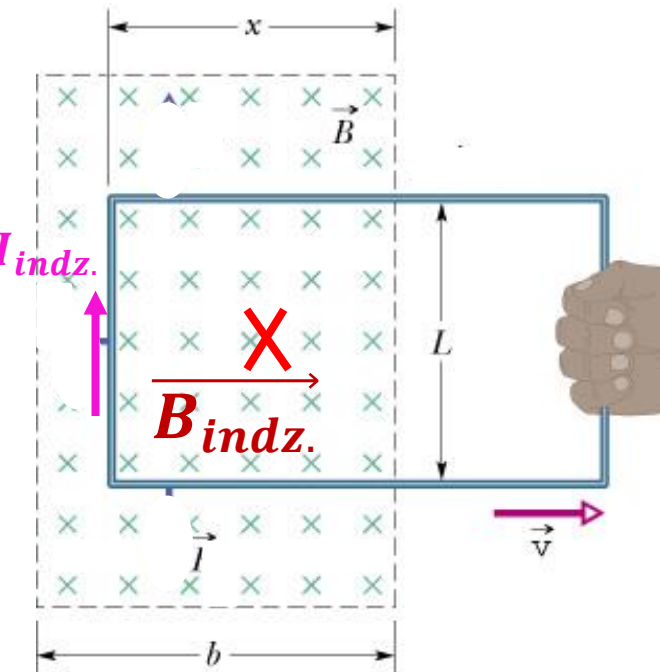
$$\phi_m = \int |\vec{B}| |d\vec{s}| \cos(0 \text{ ou } 180)$$

$$\phi_m = B \int |d\vec{s}| = BA$$

$$|\varepsilon| = \frac{d\phi_m}{dt} = \frac{d(BA)}{dt} = B \frac{d(A)}{dt} = B \frac{d(Lx)}{dt} = B L v$$

$$I_{\text{induzida}} = \frac{|\varepsilon|}{R} = \frac{B L v}{R}$$

Qual o sentido? Como é o $\vec{B}_{\text{indz.}}$



$$\phi_m = \int \vec{B} \cdot d\vec{s} = \int |\vec{B}| |d\vec{s}| \cos(\vec{B}, d\vec{s}) =$$

$$\phi_m = \int |\vec{B}| |d\vec{s}| \cos(0 \text{ ou } 180)$$

$$\phi_m = B \int |d\vec{s}| = BA$$

$$|\varepsilon| = \frac{d\phi_m}{dt} = \frac{d(BA)}{dt} = B \frac{d(A)}{dt} = B \frac{d(Lx)}{dt} = B L v$$

$$I_{induzida} = \frac{|\varepsilon|}{R} = \frac{B L v}{R}$$

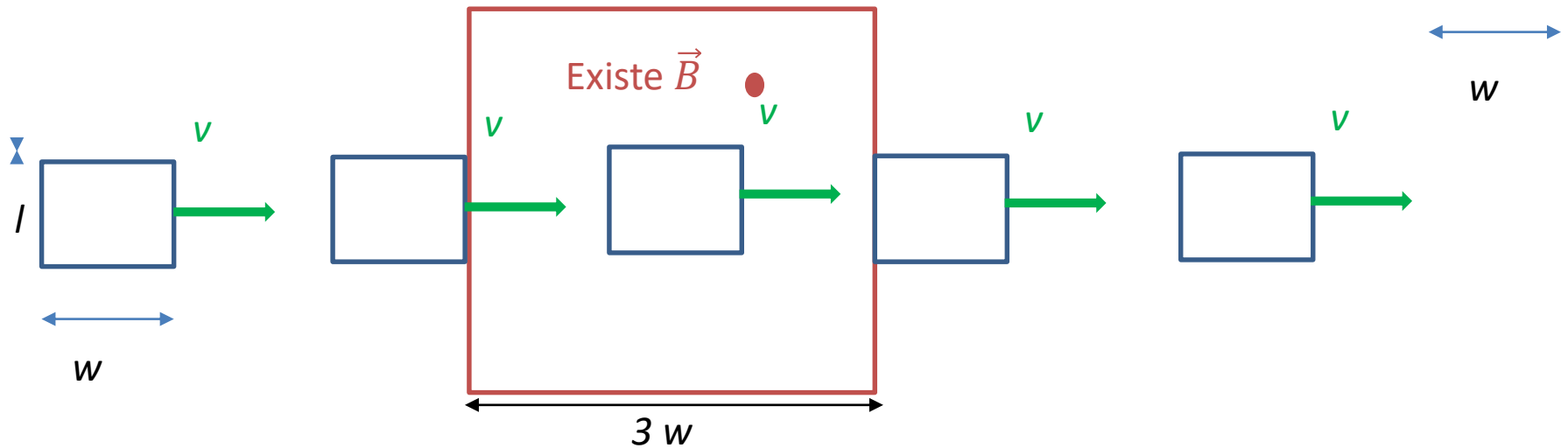
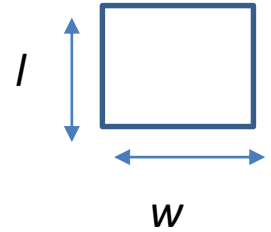
$$\vec{B}_{indz.}$$

9.4 - Exemplos

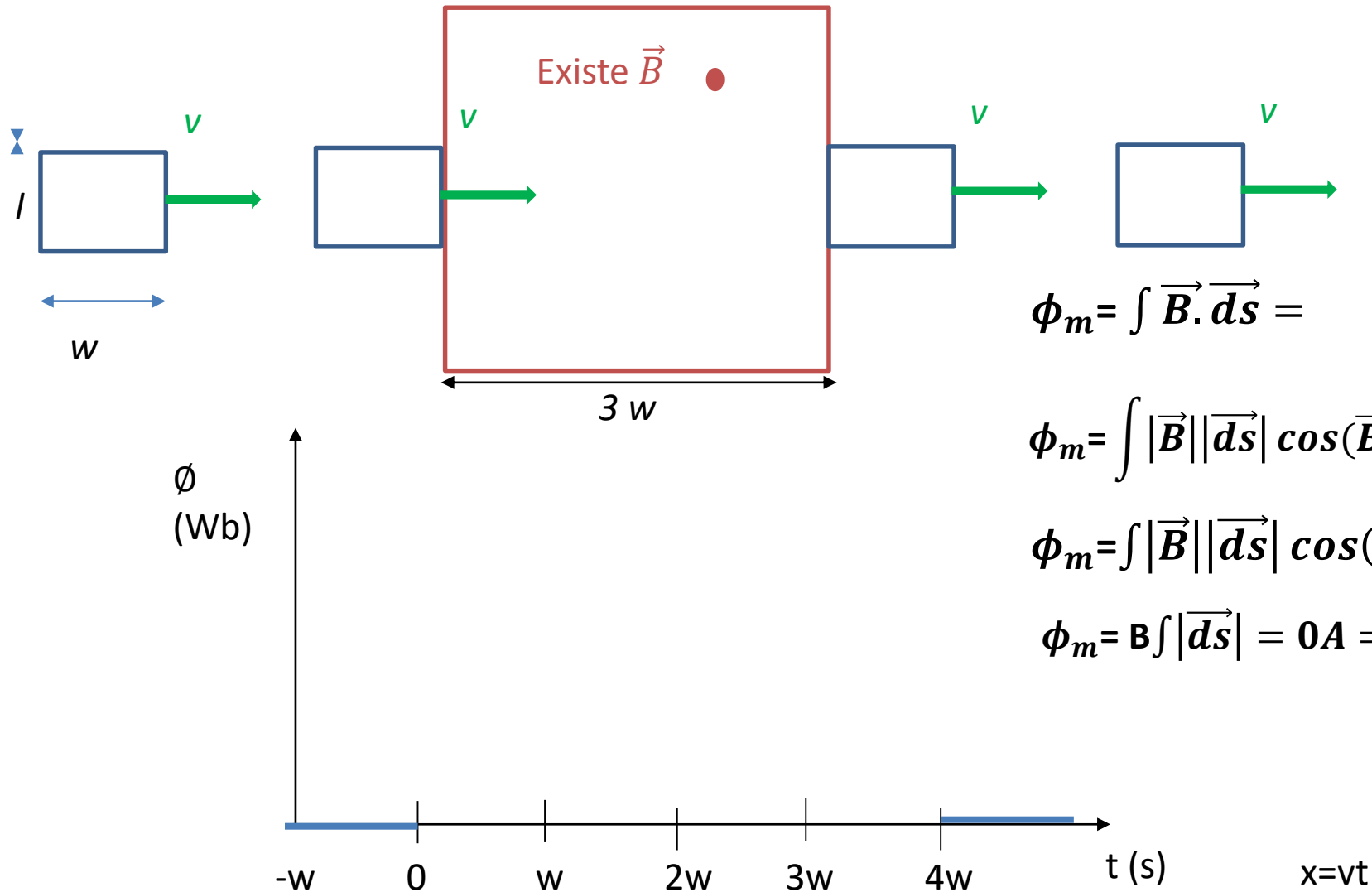
Espira de dimensões l e w a mover-se com velocidade constante.

Na região identificada existe um campo magnético uniforme e com o sentido para fora do papel.

v - constante



Análise do fluxo na espira quando ele se move fora da região de campo



$$\phi_m = \int \vec{B} \cdot d\vec{s} =$$

$$\phi_m = \int |\vec{B}| |d\vec{s}| \cos(\vec{B}, d\vec{s}) =$$

$$\phi_m = \int |\vec{B}| |d\vec{s}| \cos(0) =$$

$$\phi_m = B \int |d\vec{s}| = 0A = 0$$

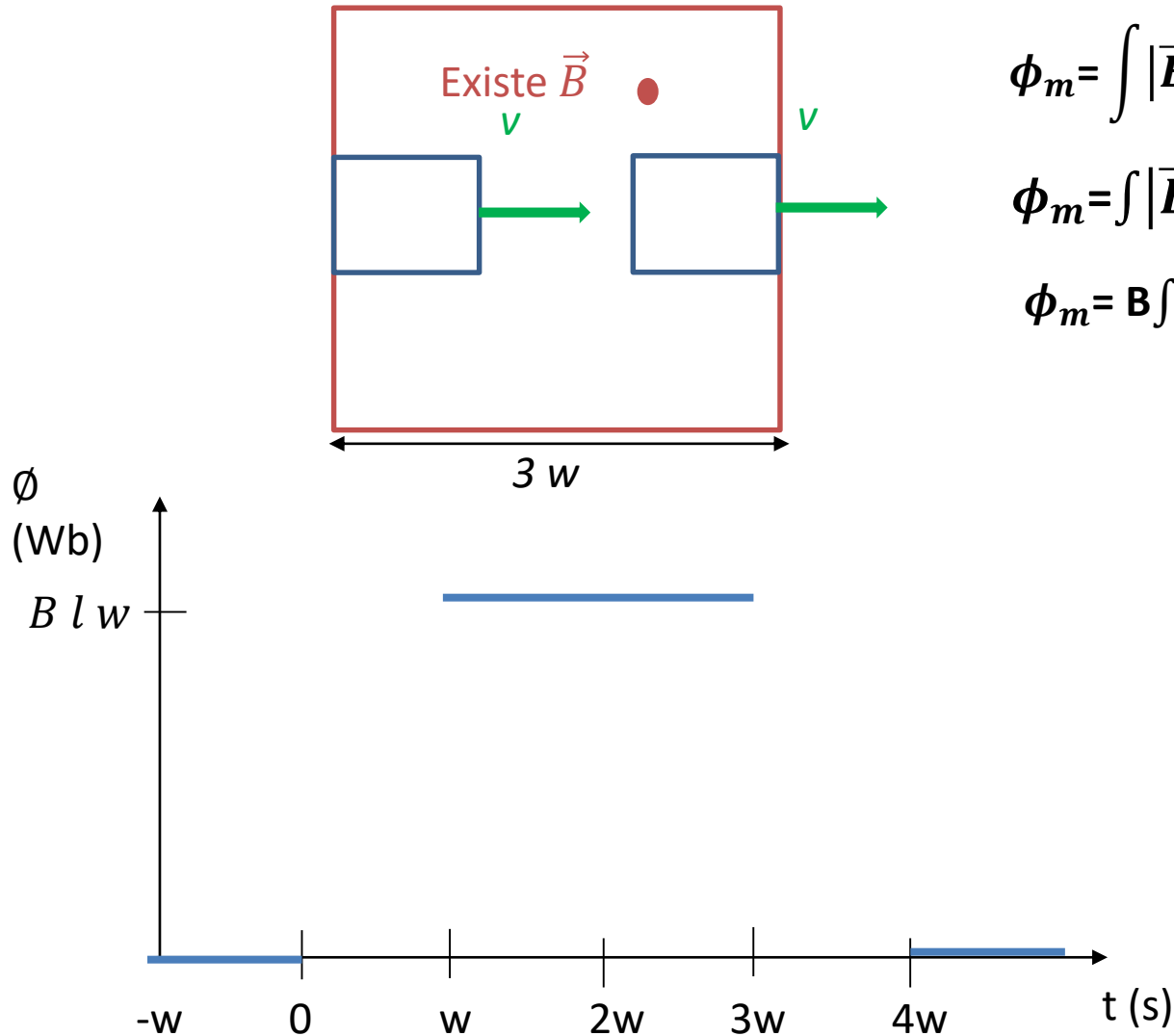
Análise do fluxo através da espira quando ela está totalmente dentro da região de campo

$$\phi_m = \int \vec{B} \cdot d\vec{s} =$$

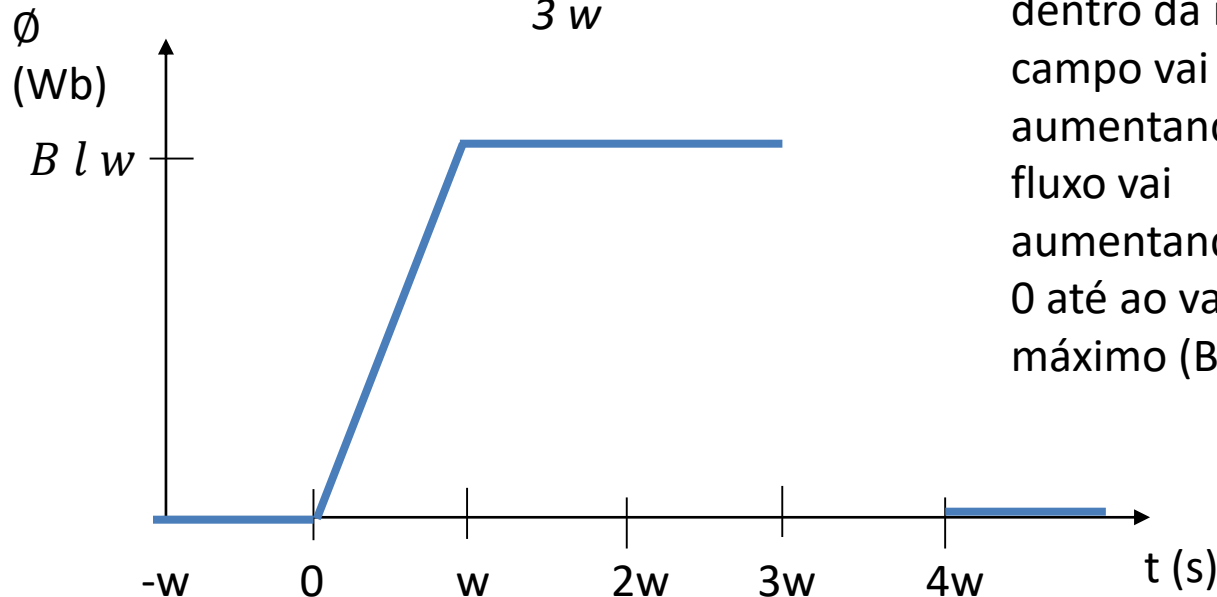
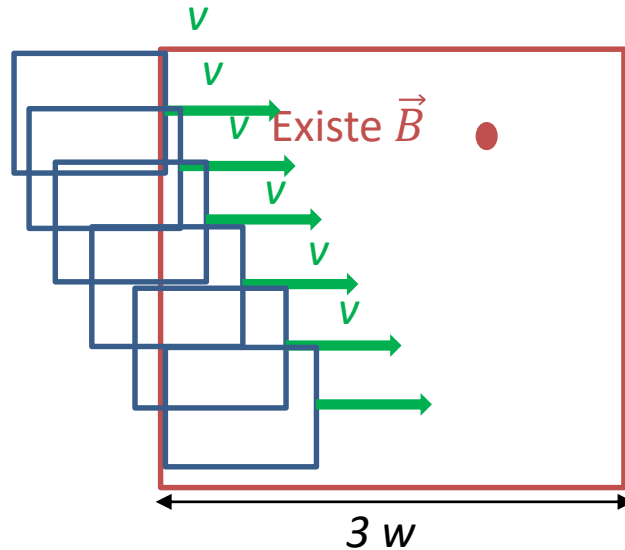
$$\phi_m = \int |\vec{B}| |d\vec{s}| \cos(\vec{B}, d\vec{s}) =$$

$$\phi_m = \int |\vec{B}| |d\vec{s}| \cos(0) =$$

$$\phi_m = B \int |d\vec{s}| = BA = B l w$$



Análise do fluxo através da espira quando ela está a entrar na região de campo



$$\phi_m = \int \vec{B} \cdot d\vec{s} =$$

$$\phi_m = \int |\vec{B}| |d\vec{s}| \cos(\vec{B}, d\vec{s}) =$$

$$\phi_m = \int |\vec{B}| |d\vec{s}| \cos(0) =$$

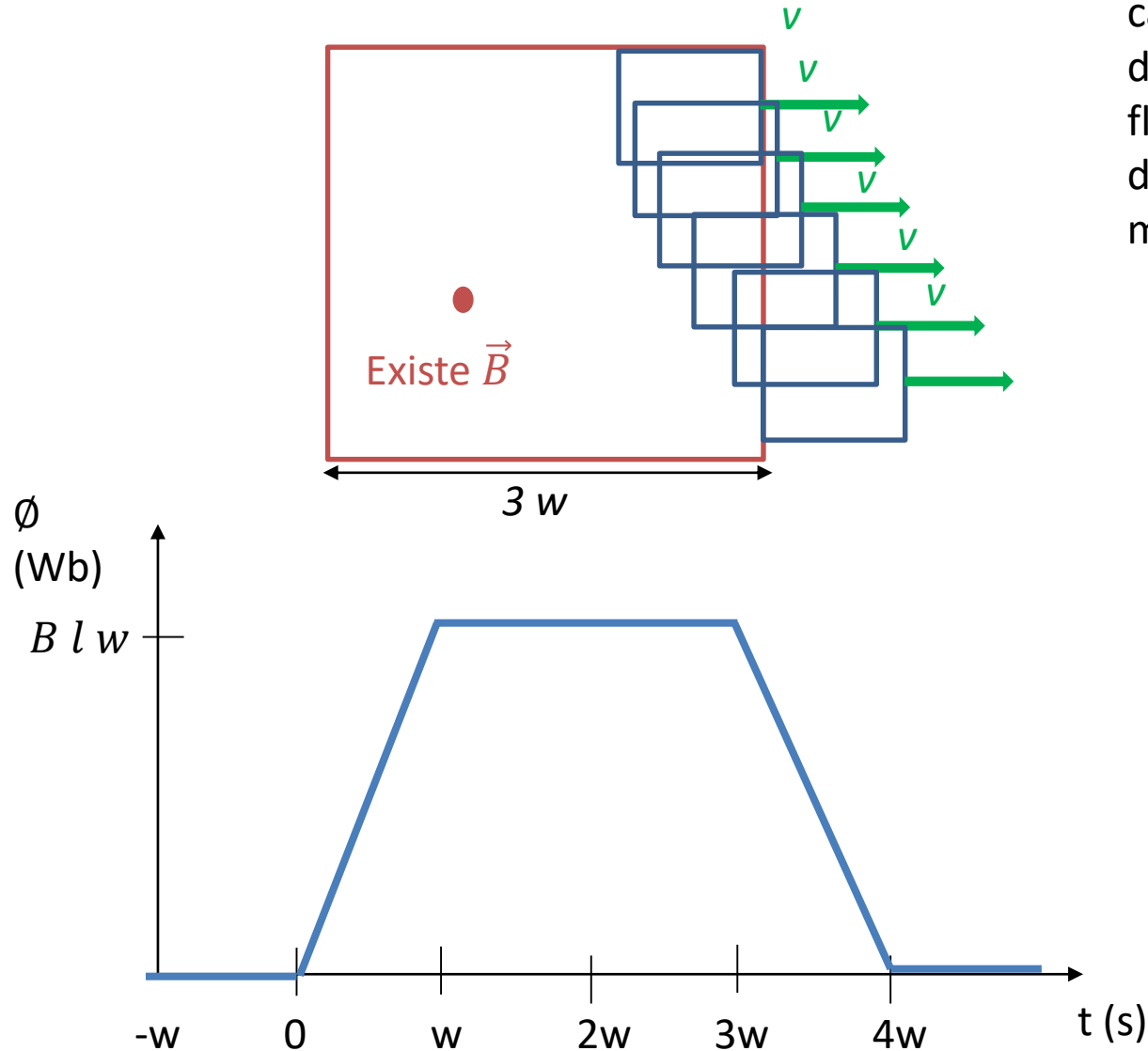
$$\phi_m = B \int_a^w l dx = B l \int_a^w dx =$$

$$\phi_m = B l (x)_{0w} = B l (w - 0) = Blw$$

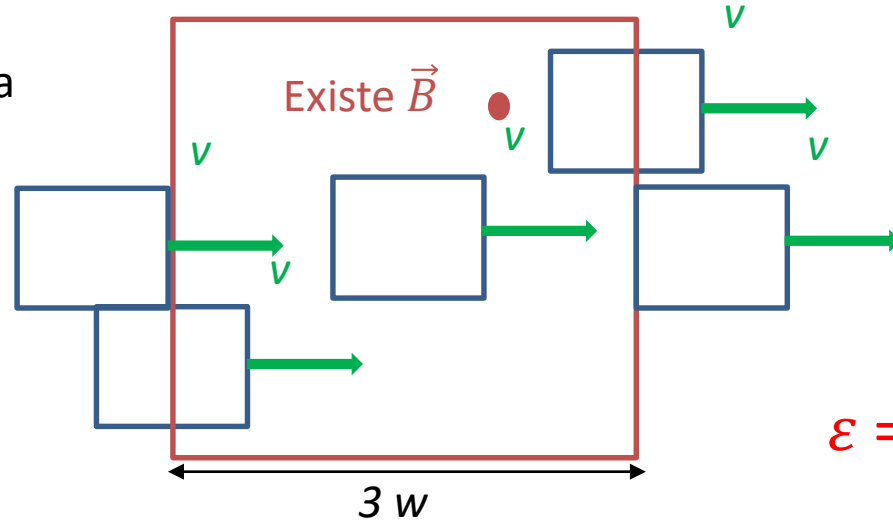
A área da espira dentro da região de campo vai aumentando: LOGO o fluxo vai aumentando: desde 0 até ao valor máximo (BLw)

Análise do fluxo através da espira quando ela está a sair na região de campo

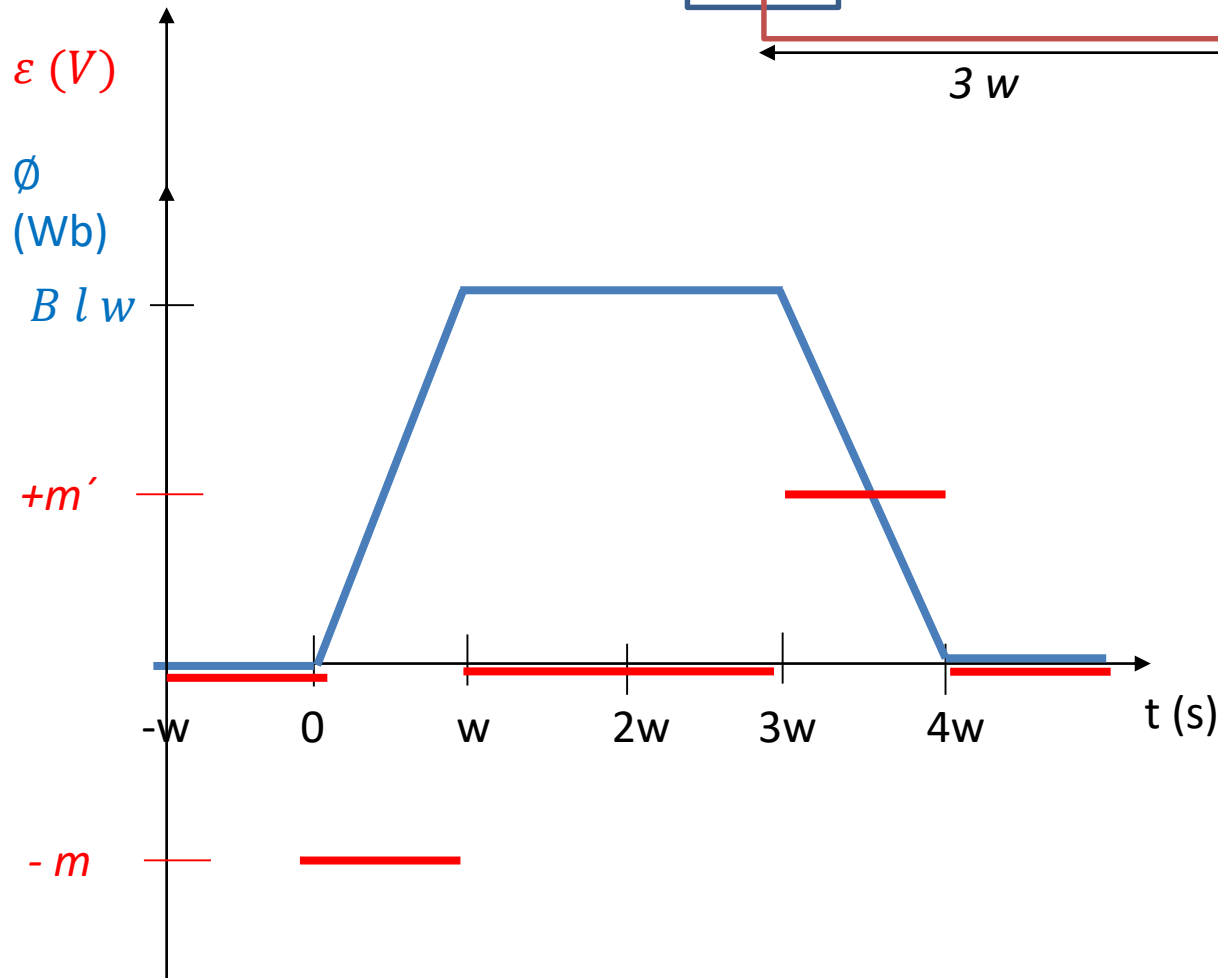
A área da espira dentro da região de campo vai diminuindo: LOGO o fluxo vai diminuindo: desde o valor máximo (BLw) até 0



Análise da f.e.m. induzida na espira



$$\varepsilon = \frac{d\phi_m}{dt}$$



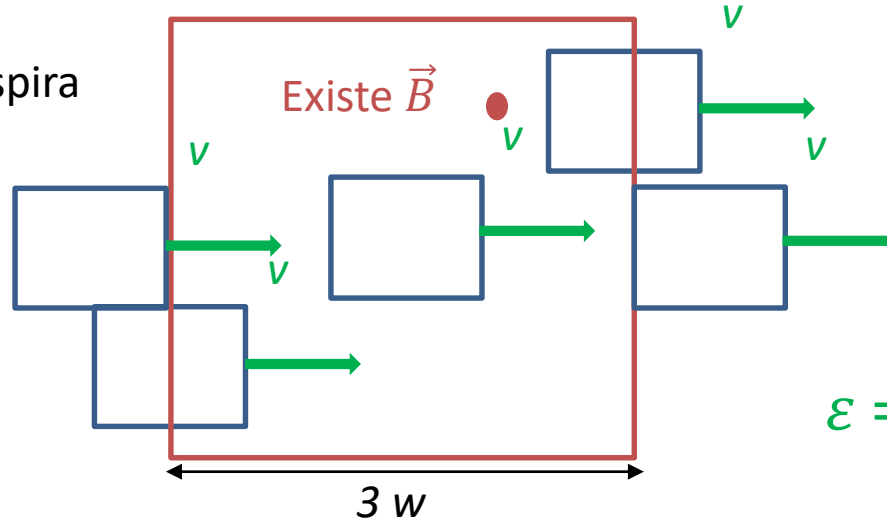
Enquanto entra na região de B o fluxo aumenta ($y = m x$), logo:

$$\varepsilon = - \frac{d\phi_m}{dt} = - m$$

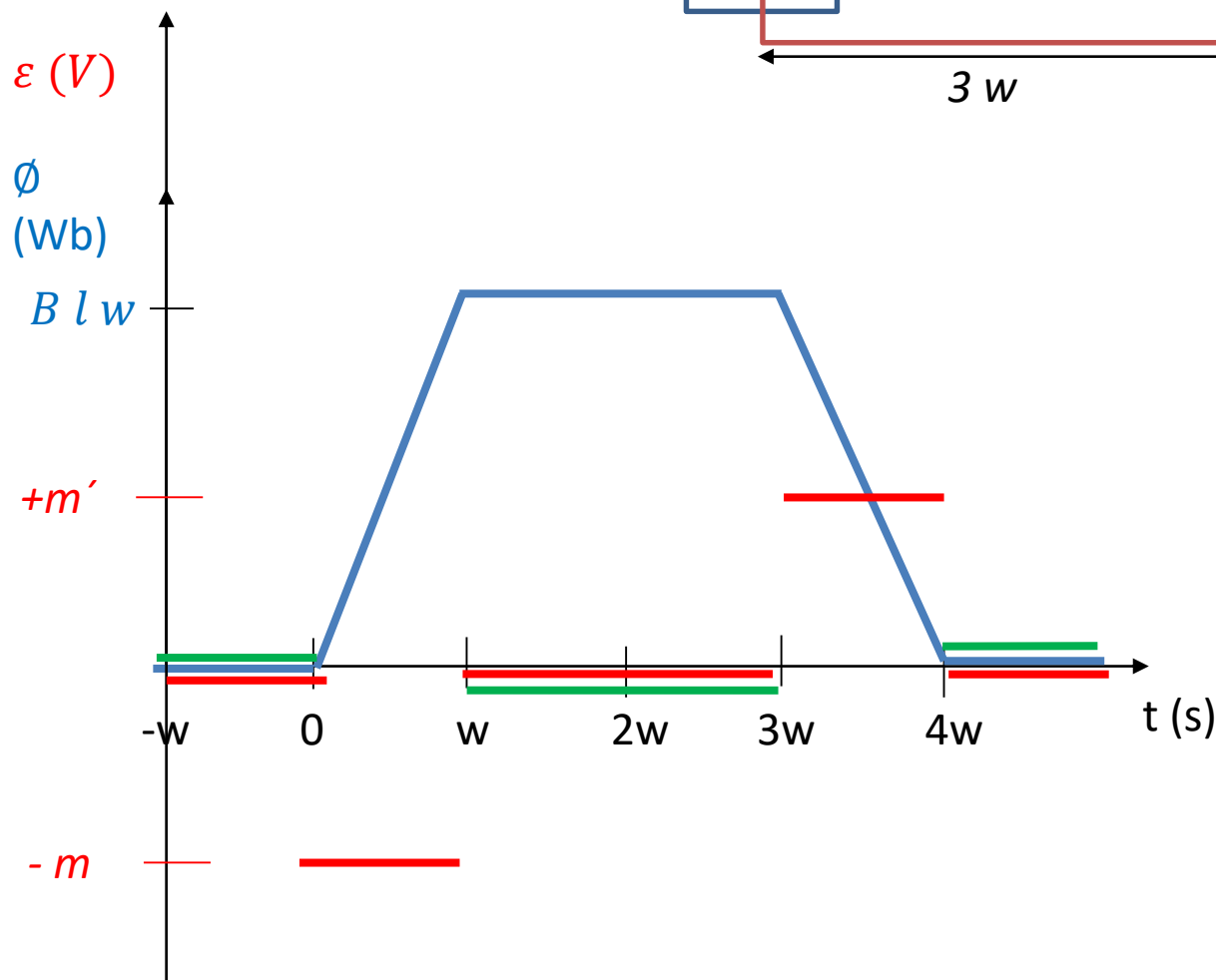
Enquanto sai da região de B o fluxo diminui ($y = -m' x$), logo:

$$\varepsilon = - \frac{d\phi_m}{dt} = m'$$

Análise da corrente induzida na espira



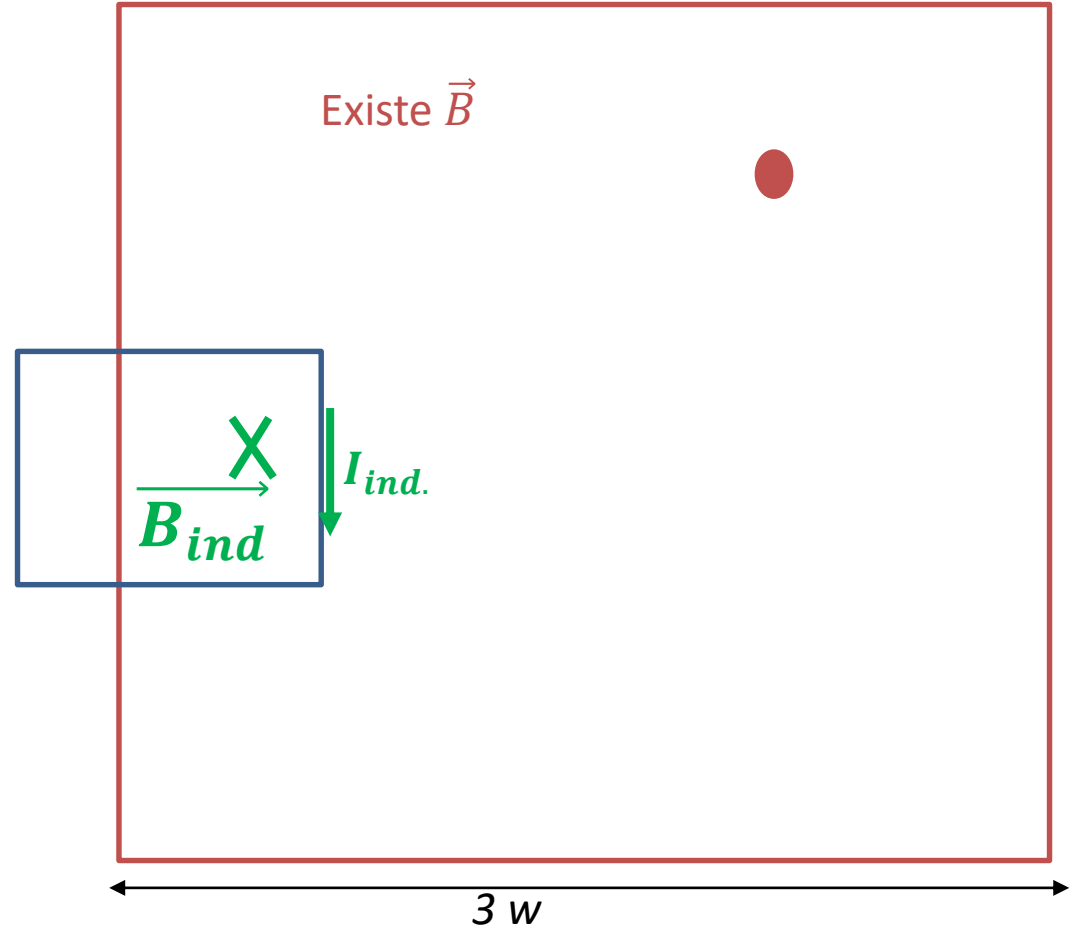
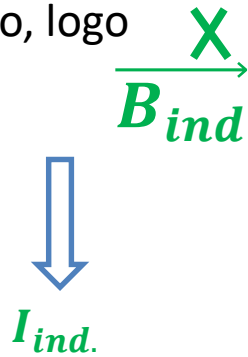
$$\varepsilon = R I_{ind}$$



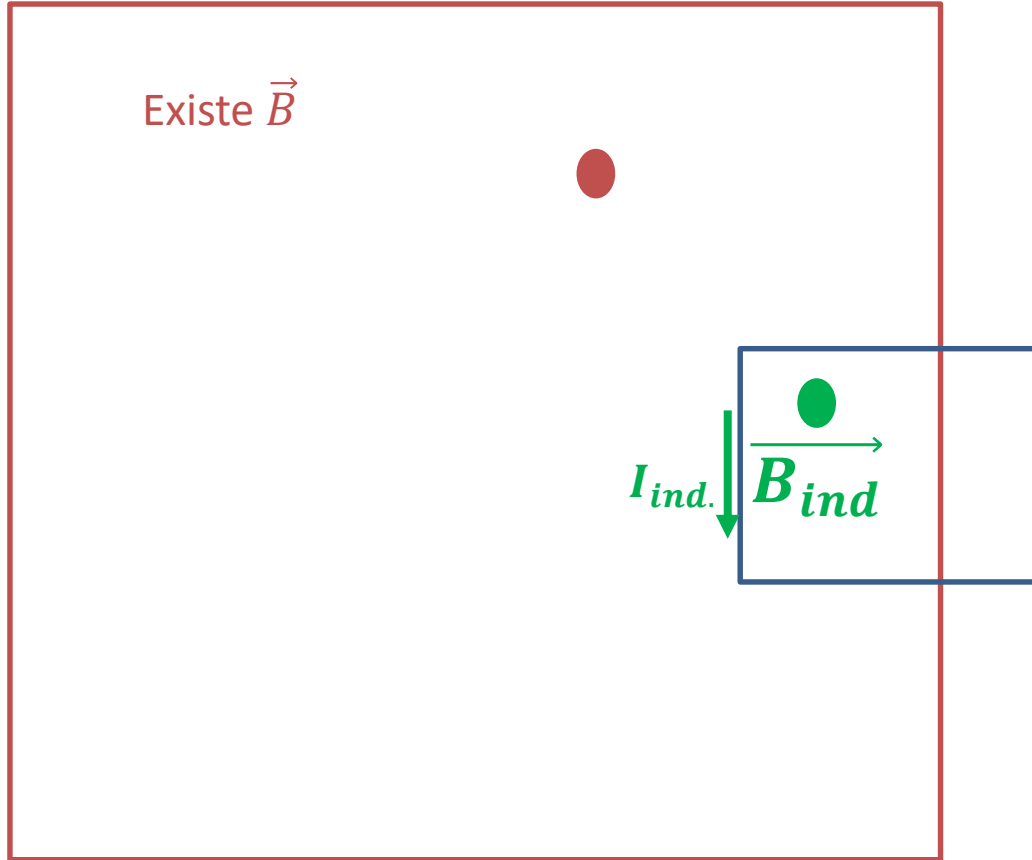
Positiva se no sentido
do movimento
dos ponteiros do
relógio e negativa
sentido contrário

Análise $I_{ind.}$ quando ela está a entrar na região de campo

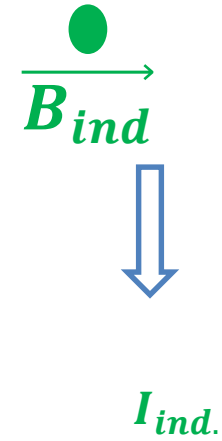
Fluxo aumenta;
Lei de Lenz o $B_{ind.}$ tem que contrariar este aumento, logo



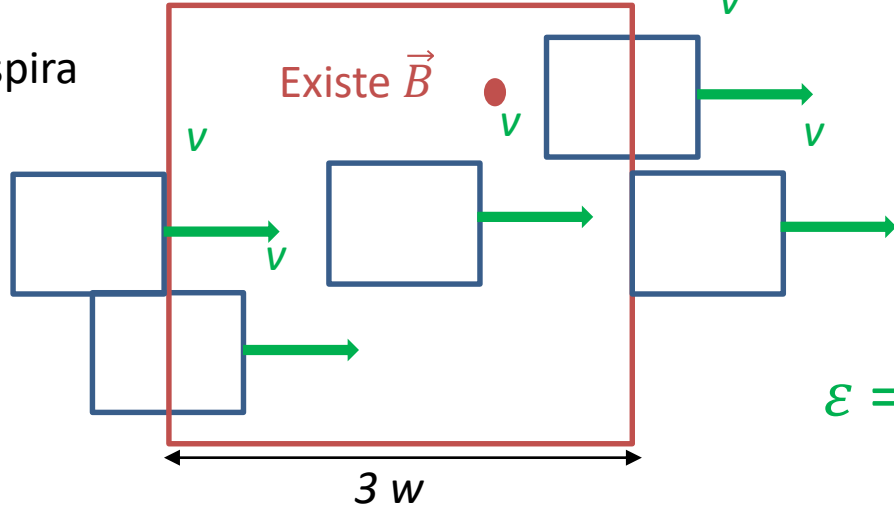
Análise $I_{ind.}$ quando ela está
a sair na região de campo



Fluxo diminui;
Lei de Lenz o $B_{ind.}$ tem que contrariar
esta diminuição, logo

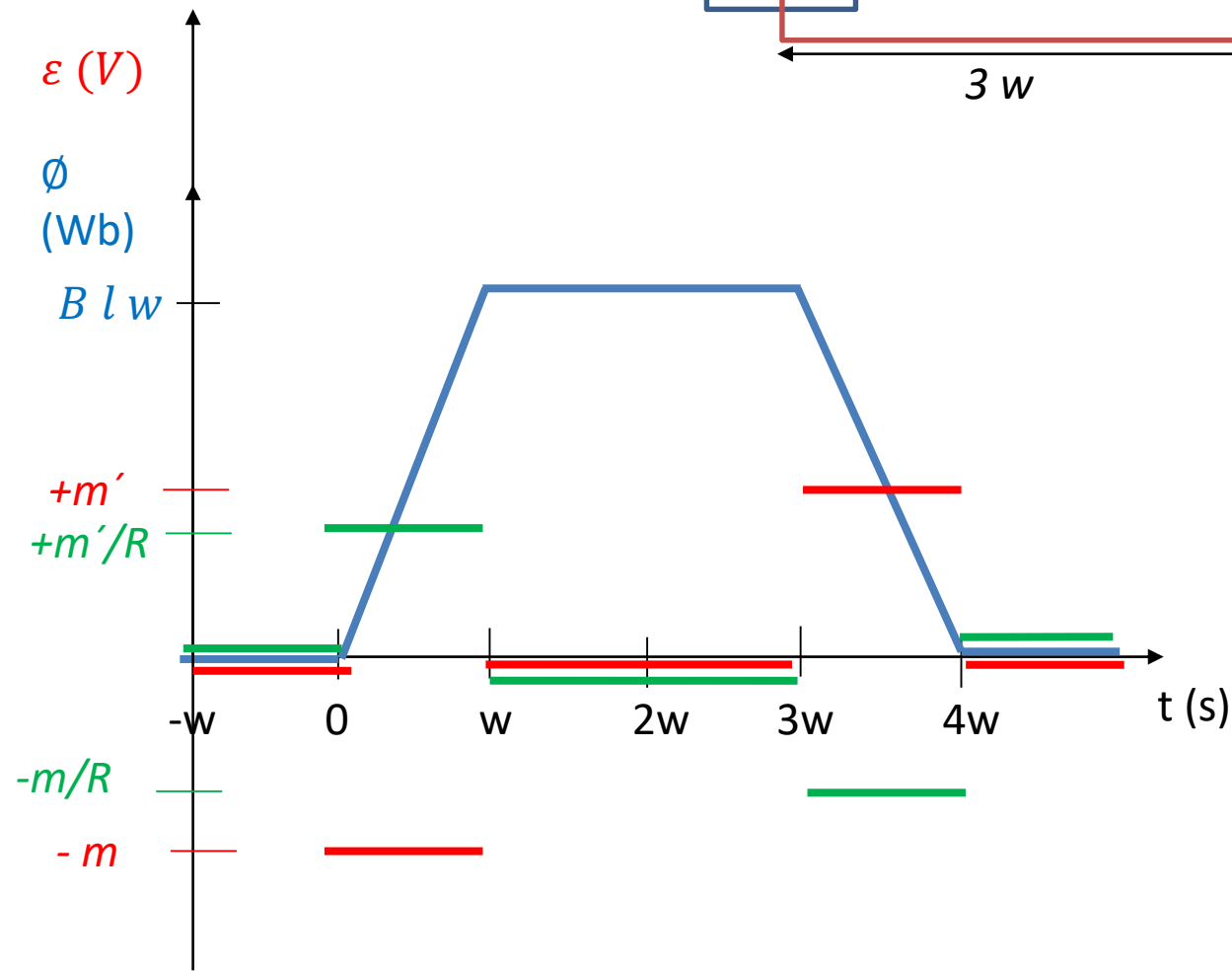


Análise da corrente induzida na espira

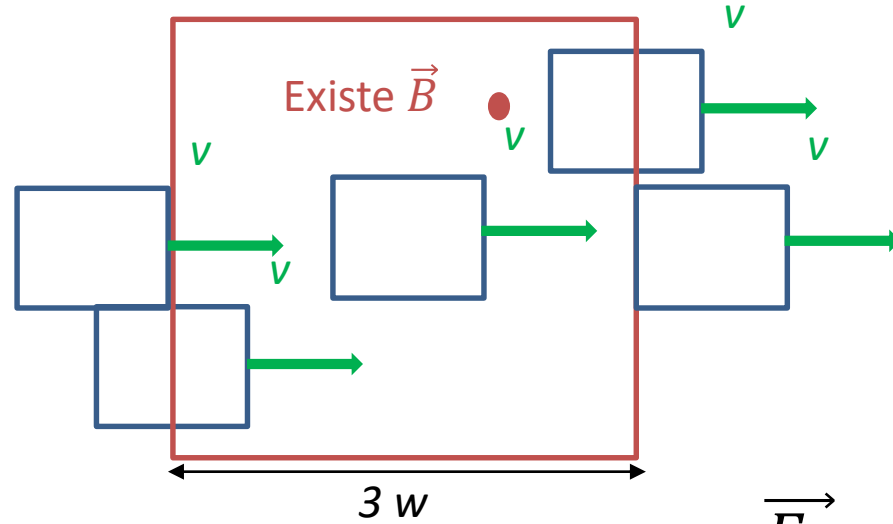


$\varepsilon = R I_{ind}$

Positiva se no sentido do movimento dos ponteiros do relógio e negativa sentido contrário

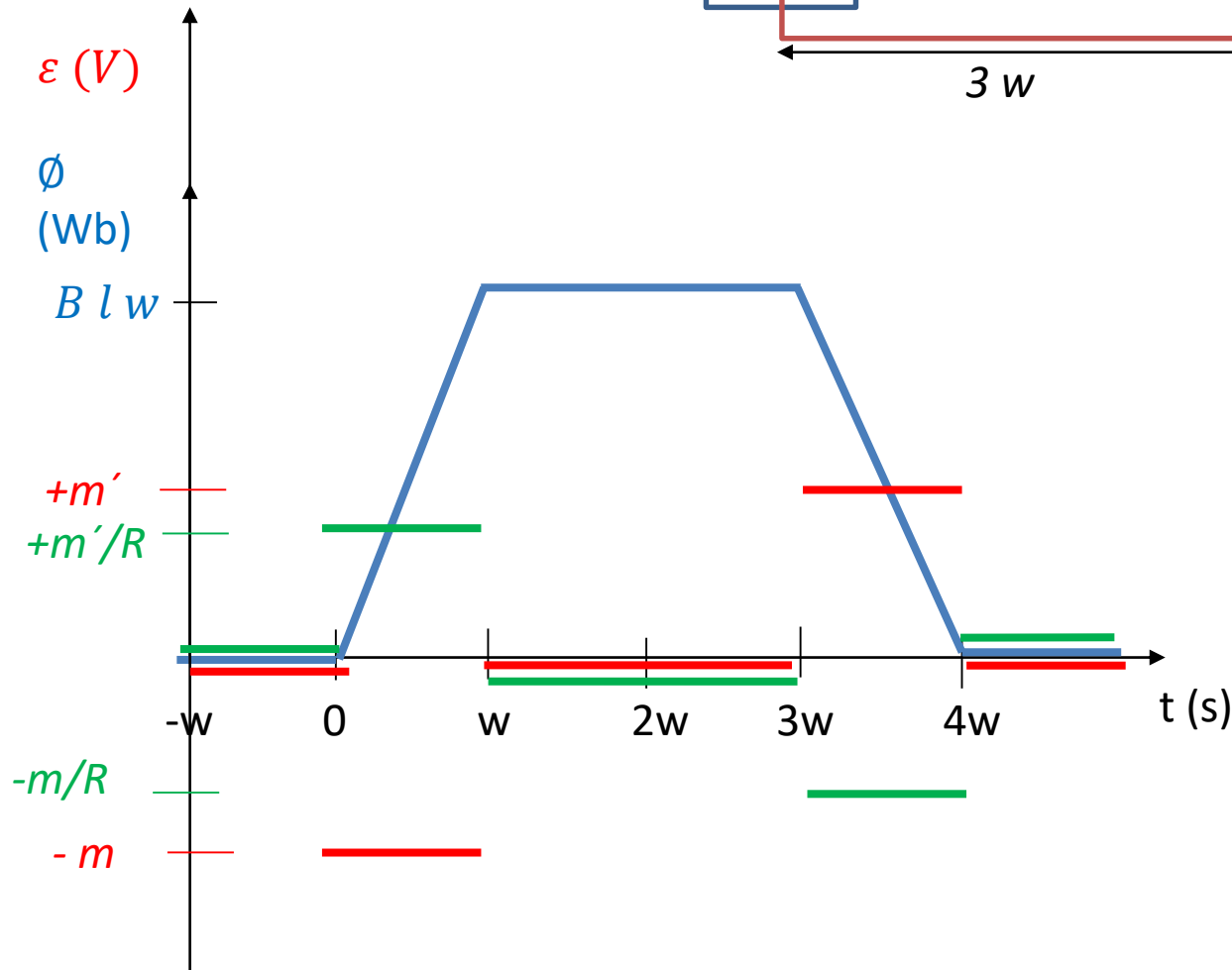


Análise da Força magnética



$$\vec{F}_B = I \vec{L} \times \vec{B}$$

Só existe se I e $B \neq 0$



Na entrada e
saída da região
de campo

Análise \vec{F}_B quando ela está a entrar na região de campo

$$\vec{F}_B = I_{ind} \vec{L} \times \vec{B}$$

$$|\vec{F}_B| = I |\vec{L}| |\vec{B}| \sin(\vec{L}, \vec{B})$$

Região

1-4: $I_{ind.} \neq 0$ mas $B=0$ LOGO $\vec{F}_B = 0$

x-1: $I_{ind.} \neq 0$ mas $B=0$ LOGO $\vec{F}_B = 0$

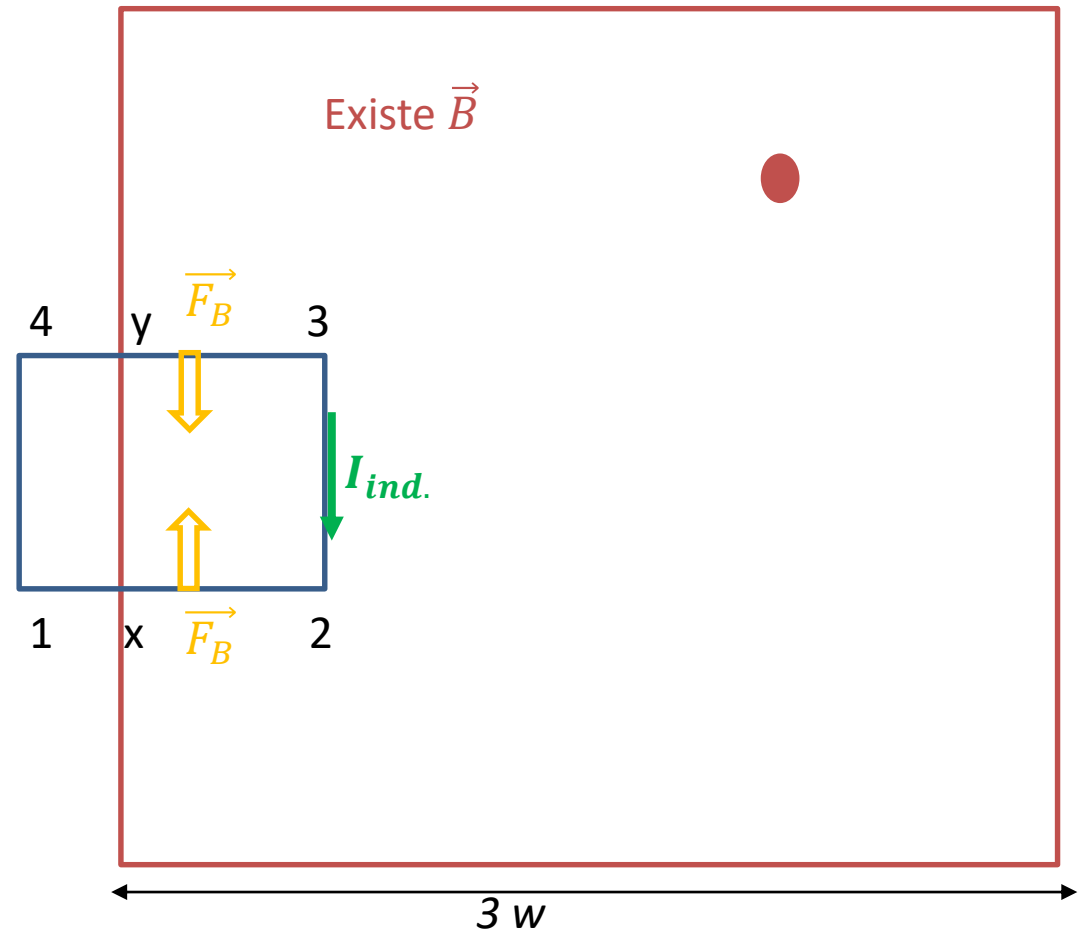
4-y: $I_{ind.} \neq 0$ mas $B=0$ LOGO $\vec{F}_B = 0$

2-x: $I_{ind.}$ e $\vec{B} \neq 0$ LOGO $\vec{F}_B \neq 0$:

$$|\vec{F}_B| = I_{ind} |\vec{L}| |\vec{B}| \sin(90)$$

$$|\vec{F}_B| = I_{ind} w B + \text{RMD}$$

Cancelam-se



y-3: $I_{ind.}$ e $\vec{B} \neq 0$ LOGO $\vec{F}_B \neq 0$

$$|\vec{F}_B| = I_{ind} |\vec{L}| |\vec{B}| \sin(90)$$

$$|\vec{F}_B| = I_{ind} w B + \text{RMD}$$

Análise \vec{F}_B quando ela está a entrar na região de campo

$$\vec{F}_B = I_{ind} \vec{L} \times \vec{B}$$

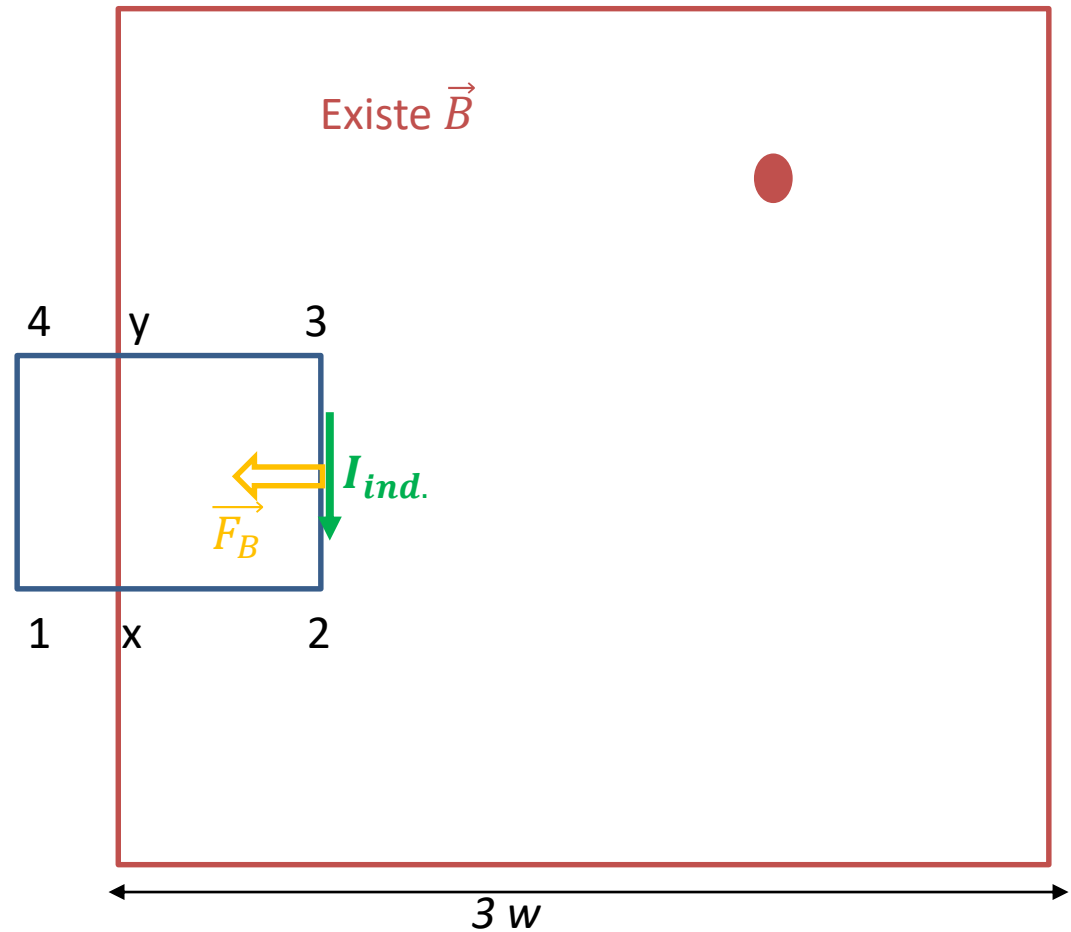
$$|\vec{F}_B| = I |\vec{L}| |\vec{B}| \sin(\vec{L}, \vec{B})$$

Região

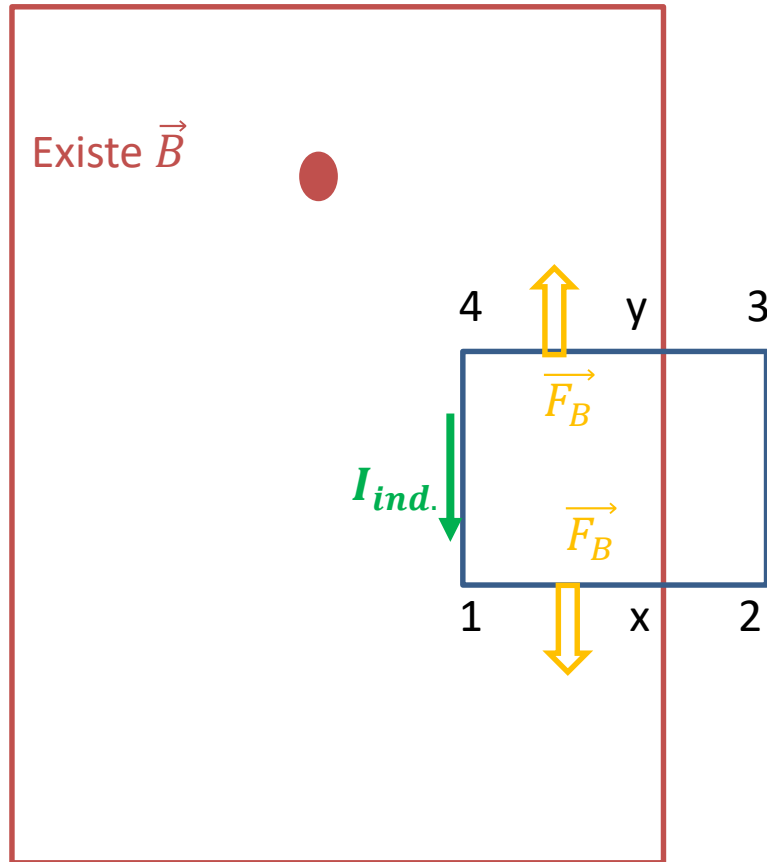
2-3: $I_{ind.}$ e $\vec{B} \neq 0$ LOGO $\vec{F}_B \neq 0$

$$|\vec{F}_B| = I_{ind} |\vec{l}| |\vec{B}| \sin(90)$$

$$|\vec{F}_B| = I_{ind} l B + \text{RMD}$$



Análise $I_{ind.}$ quando ela está a sair na região de campo



$$\vec{F}_B = I_{ind} \vec{L} \times \vec{B}$$

$$|\vec{F}_B| = I |\vec{L}| |\vec{B}| \sin(\vec{L}, \vec{B})$$

Região

2-3: $I_{ind.} \neq 0$ mas $B=0$ LOGO $\vec{F}_B = 0$

3-y: $I_{ind.} \neq 0$ mas $B=0$ LOGO $\vec{F}_B = 0$

x-2: $I_{ind.} \neq 0$ mas $B=0$ LOGO $\vec{F}_B = 0$

1-x: $I_{ind.}$ e $\vec{B} \neq 0$ LOGO $\vec{F}_B \neq 0$:

$$|\vec{F}_B| = I_{ind} |\vec{L}| |\vec{B}| \sin(90)$$

$$|\vec{F}_B| = I_{ind} w B + \text{RMD}$$

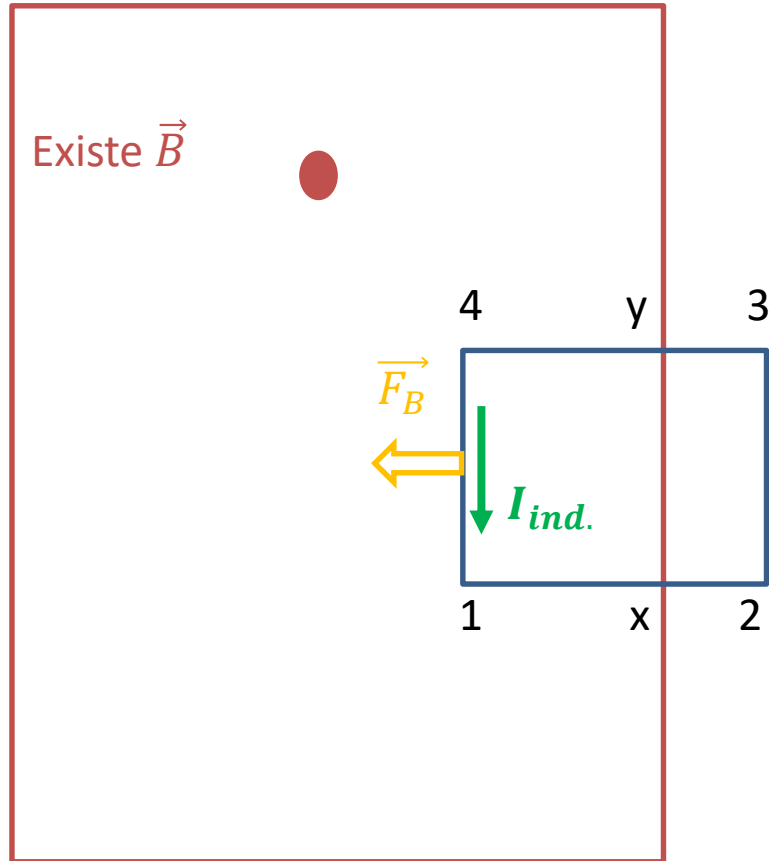
3-y: $I_{ind.}$ e $\vec{B} \neq 0$ LOGO $\vec{F}_B \neq 0$

$$|\vec{F}_B| = I_{ind} |\vec{L}| |\vec{B}| \sin(90)$$

$$|\vec{F}_B| = I_{ind} w B + \text{RMD}$$

Cancelam-se

Análise $I_{ind.}$ quando ela está a sair na região de campo



$$\vec{F}_B = I_{ind} \vec{L} \times \vec{B}$$

$$|\vec{F}_B| = I |\vec{L}| |\vec{B}| \sin(\vec{L}, \vec{B})$$

Região

4-1: $I_{ind.}$ e $\vec{B} \neq 0$ LOGO $\vec{F}_B \neq 0$

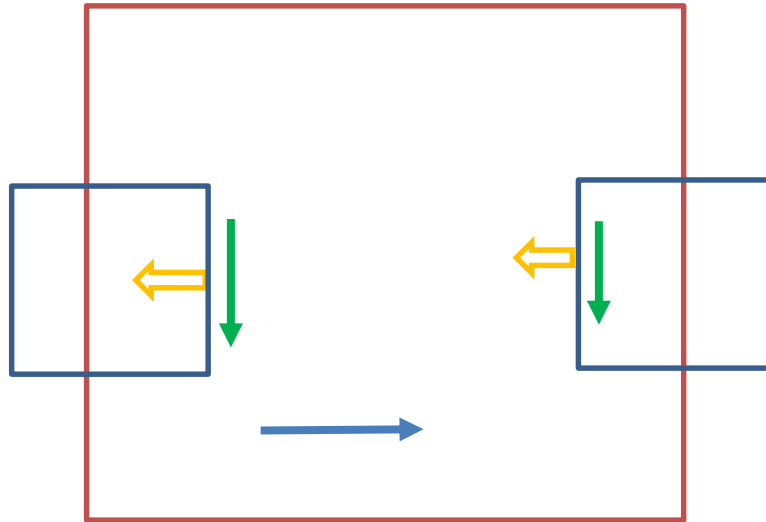
$$|\vec{F}_B| = I_{ind} |\vec{L}| |\vec{B}| \sin(90)$$

$$|\vec{F}_B| = I_{ind} l B \quad + \text{RMD}$$

Cancelam-se

$I_{ind.}$

\vec{F}_B



Para que a velocidade seja constante durante a entrada e saída da espira na região de campo, é necessário aplicar uma força externa de módulo igual a \vec{F}_B e de sentido oposto.

Positiva se no sentido
do movimento

